

NMR 基礎講義1 & 2

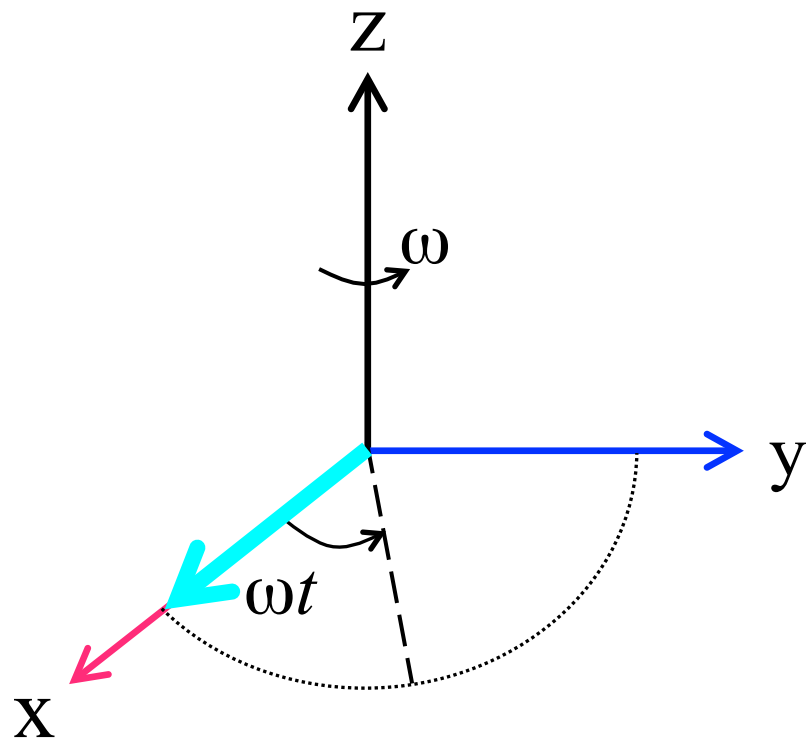
第 10 回 若手 NMR 研究会
2009 年 9 月 4 日 (金) - 6 日 (日)
IPC 生産性国際交流センター (湘南国際村)

大阪大学蛋白質研究所
構造プロテオミクス研究系
池上貴久

化学シフトの直積演算子 (product-operator)

$$I_x \Rightarrow I_x \cos(\omega t) + I_y \sin(\omega t)$$

ω : 角速度(rad/s)

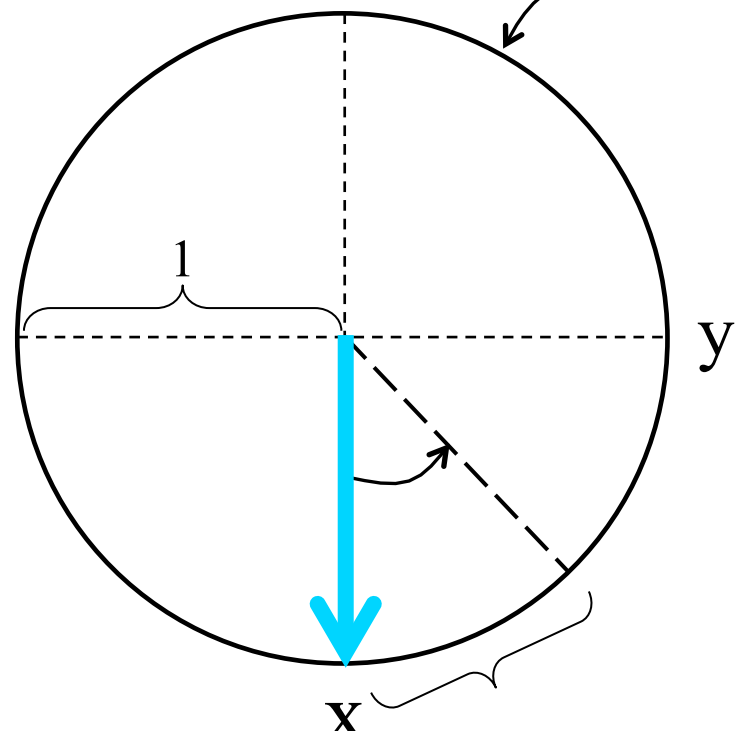


$$\omega = 2\pi\nu$$

角速度
(rad/s)

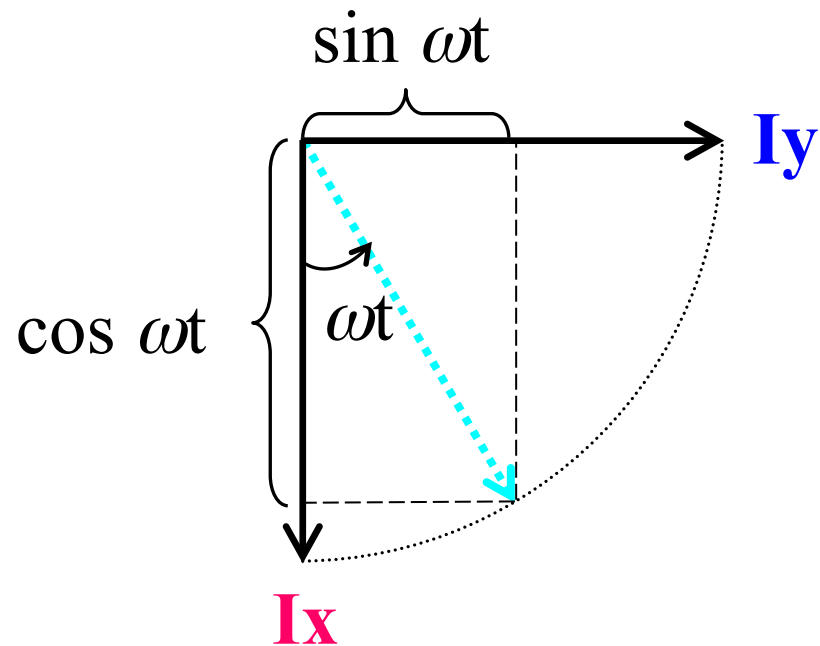
周波数
(Hz = /s)

一周の長さ : 2π (rad)



長さ : ωt (rad)

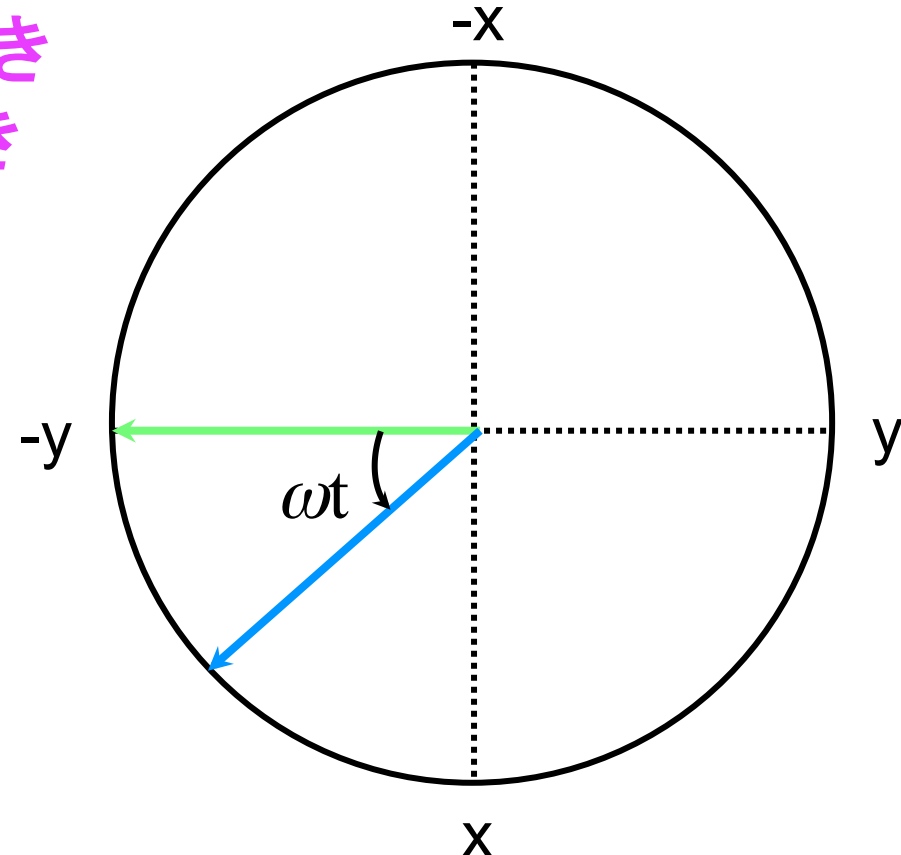
化学シフト = Z 軸周りの回転



$$I_x \xrightarrow{(\omega t) z} I_x \quad I_y$$

$$I_x \xrightarrow{(\omega t) z} I_x \cos (\omega t) + I_y \sin (\omega t)$$

前の項：そのままの向き
後の項：90 度先の向き



$$I-y \xrightarrow{(\omega t) z} I-y \quad Ix \leftarrow 90 \text{ 度進んだ先の向き}$$

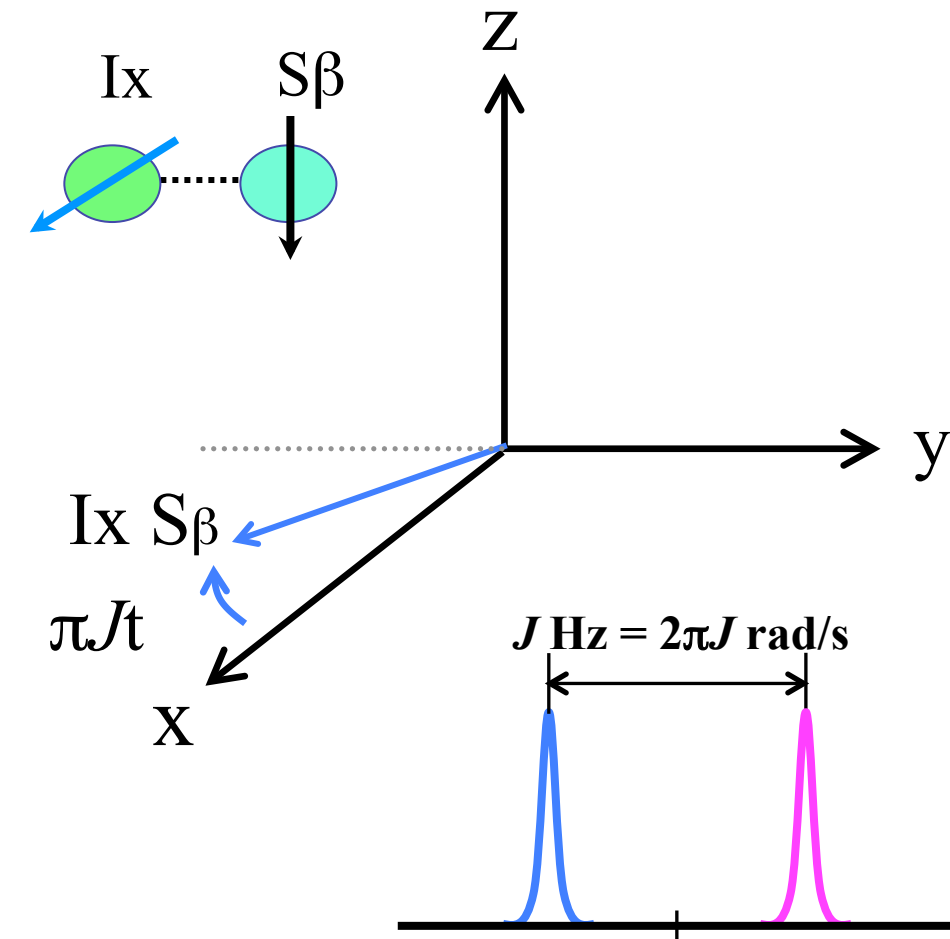
$$I-y \xrightarrow{(\omega t) z} I-y \cos (\omega t) + Ix \sin (\omega t)$$

J-スピニスピニ結合の直積演算子

$$I_x \Rightarrow I_x \cos(\pi Jt) + 2I_y S_z \sin(\pi Jt)$$

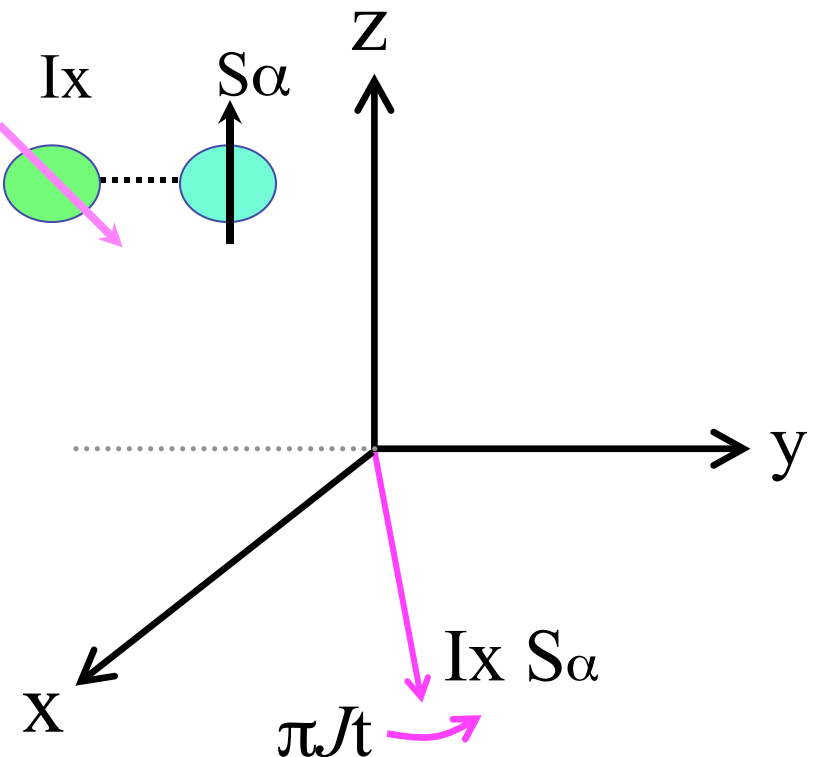
2 種類の I スピン

$$\pm \frac{J}{2} (\text{Hz}) = \pm \pi J \left(\frac{\text{rad}}{\text{s}} \right)$$



$I_x S_\beta \rightarrow$

$$I_x S_\beta \cdot \cos(\pi J t) - I_y S_\beta \cdot \sin(\pi J t)$$



$I_x S_\alpha \rightarrow$

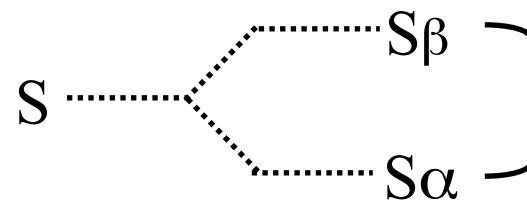
$$I_x S_\alpha \cdot \cos(\pi J t) + I_y S_\alpha \cdot \sin(\pi J t)$$

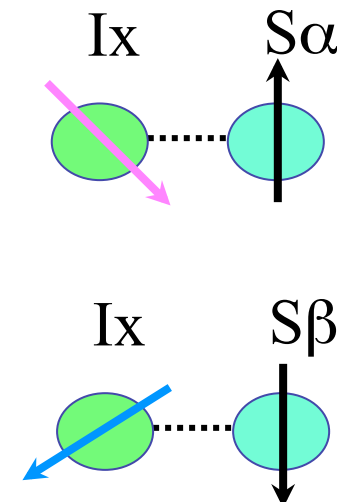
J-結合の直積演算子

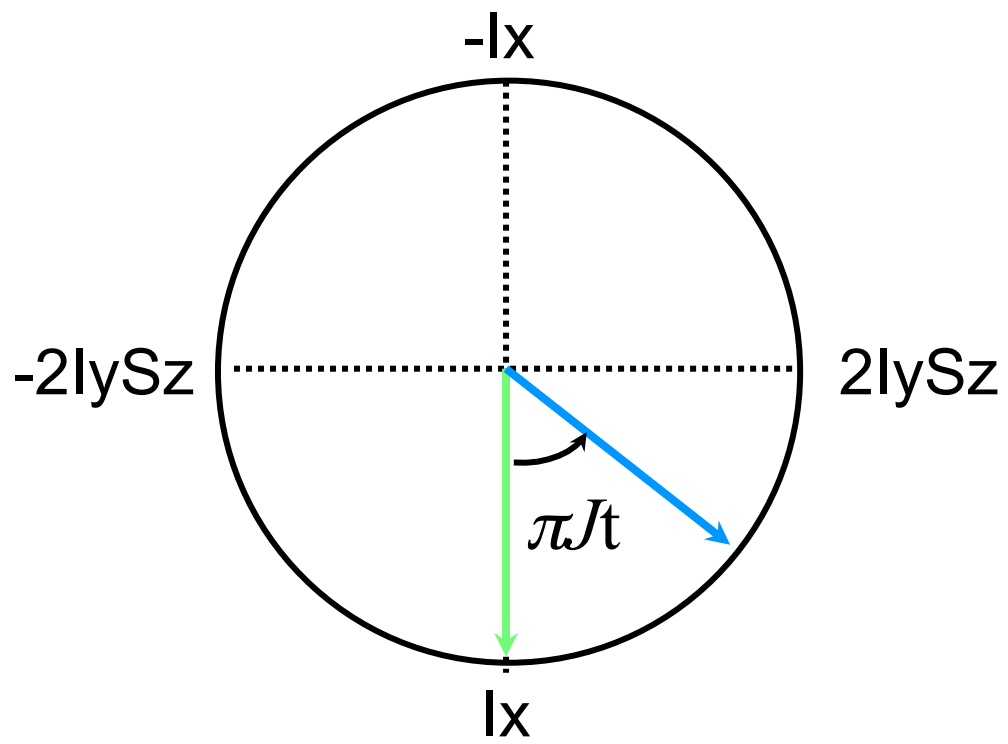
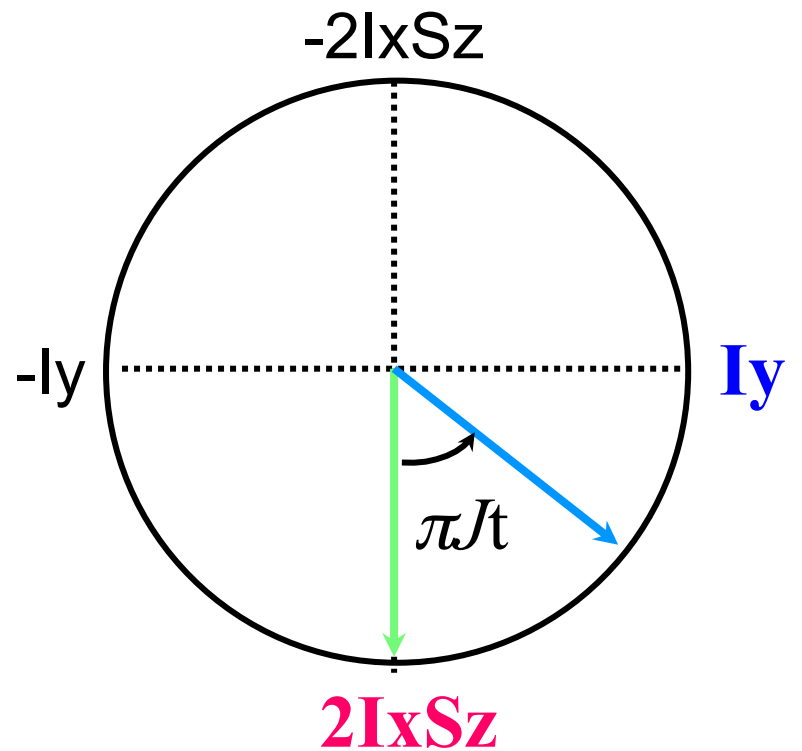
$$\begin{array}{l} I_x S_\alpha \rightarrow I_x S_\alpha \cos(\pi Jt) + I_y S_\alpha \sin(\pi Jt) \\ + \Big) I_x S_\beta \rightarrow I_x S_\beta \cos(\pi Jt) - I_y S_\beta \sin(\pi Jt) \\ \hline I_x (S_\alpha + S_\beta) \rightarrow I_x (S_\alpha + S_\beta) \cos(\pi Jt) + I_y (S_\alpha - S_\beta) \sin(\pi Jt) \end{array}$$

$$\begin{aligned} S_\alpha + S_\beta &= 1 \\ S_\alpha - S_\beta &= 2 S_z \end{aligned}$$

$I_x \longrightarrow I_x \cos(\pi Jt) + 2 I_y S_z \sin(\pi Jt)$

S  和 = 1
差 = 2 S_z (S の z 磁化)





$$2IxSz \xrightarrow{(\pi Jt) 2IzSz} 2IxSz$$

$Iy \leftarrow 90$ 度進んだ先の向き

$$2IxSz \xrightarrow{(\pi Jt) 2IzSz} 2IxSz \cos (\pi Jt) + Iy \sin (\pi Jt)$$

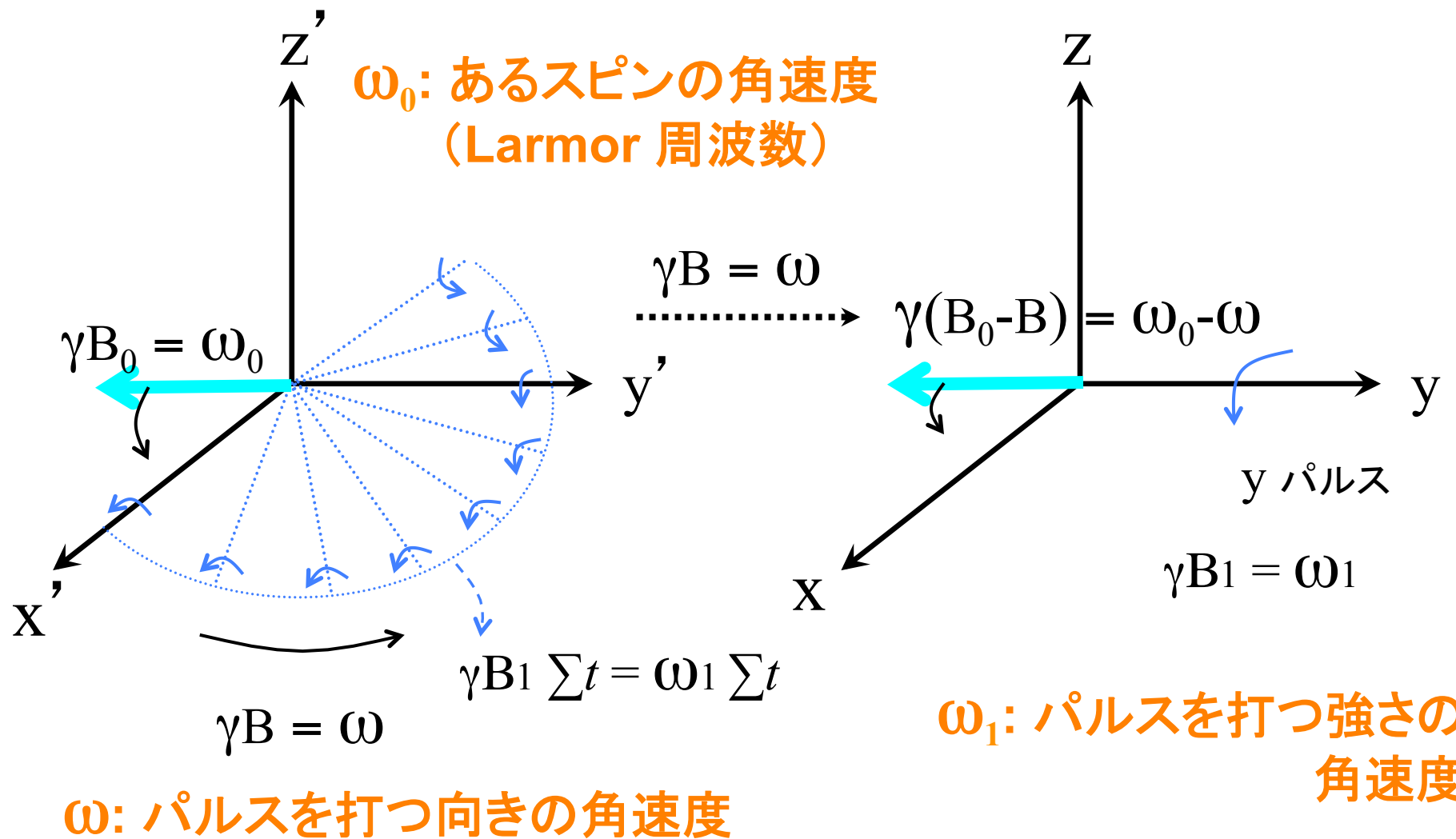
パルスを打っている最中の спинの挙動

$$\begin{aligned}\rho &= \rho_z + \rho_{rf} \\ &= \omega_0 I_z + \omega_1 [I_x \cos(\omega t + \phi) + I_y \sin(\omega t + \phi)]\end{aligned}$$

実験室座標系

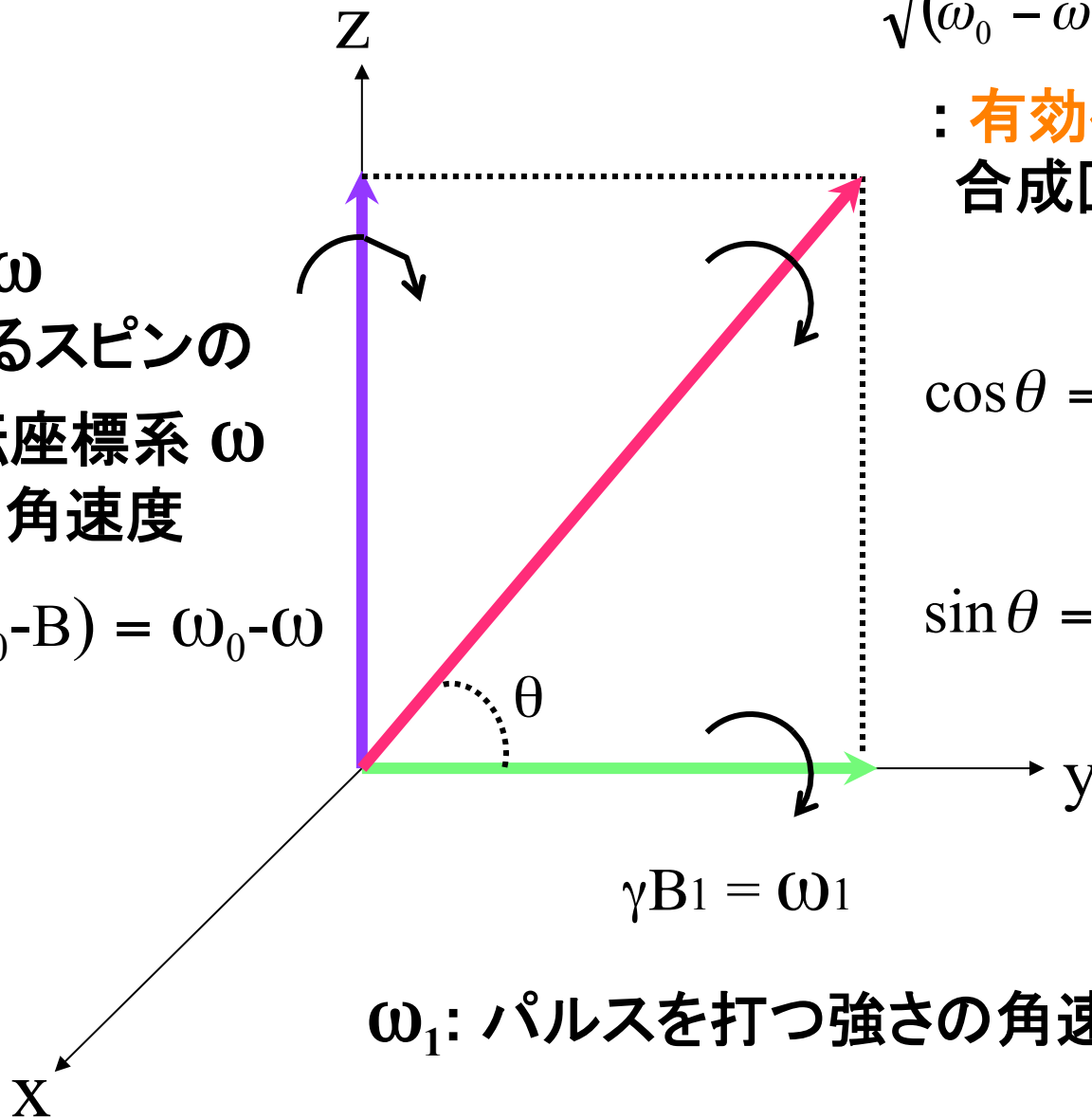
パルス

回転座標系



$\omega_0 - \omega$
: あるスピンの
回転座標系 ω
での角速度

$$\gamma(B_0 - B) = \omega_0 - \omega$$



$$\sqrt{(\omega_0 - \omega)^2 + \omega_1^2}$$

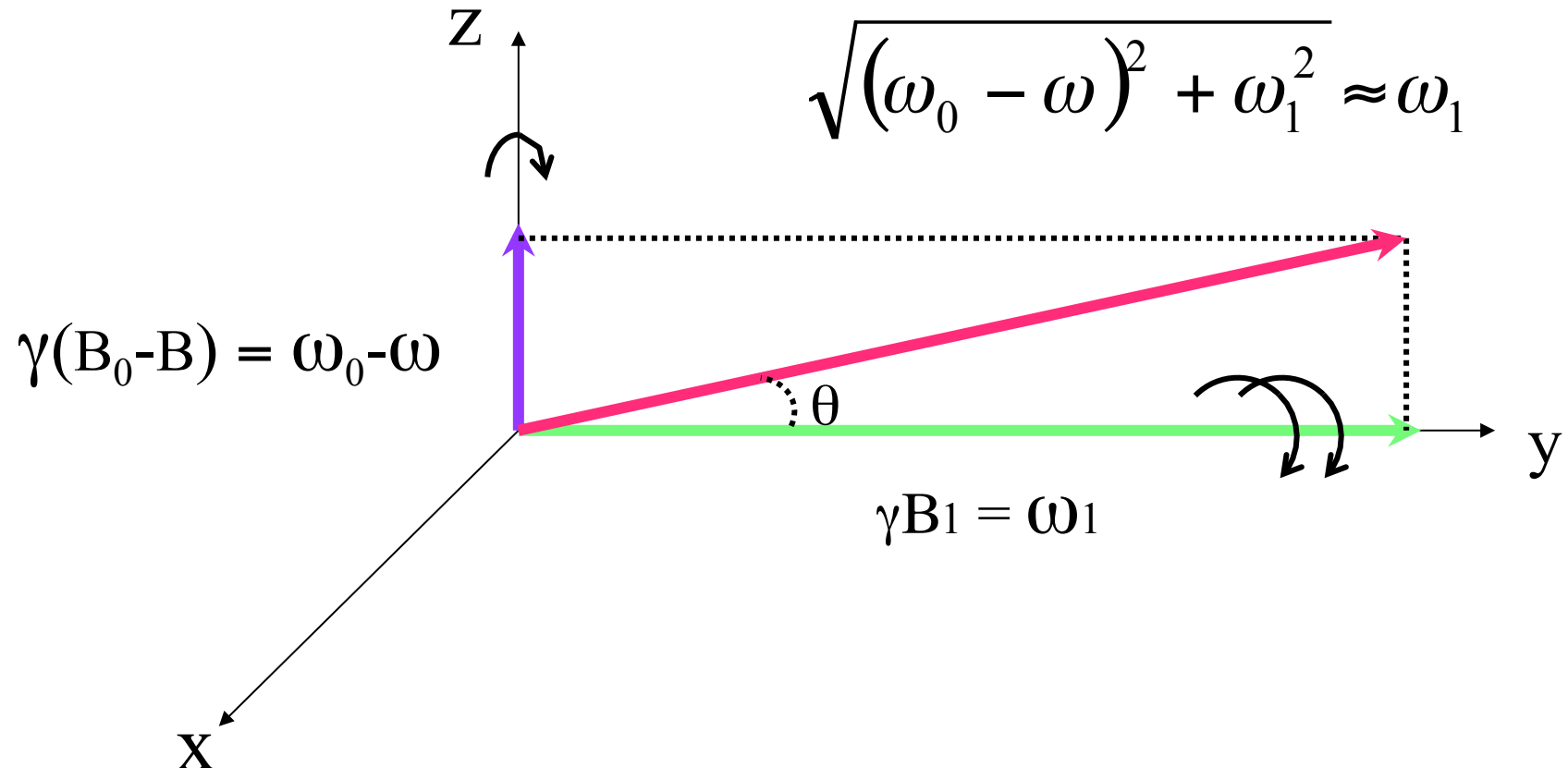
: 有効磁場の周りの
合成回転の角速度

$$\cos \theta = \frac{\omega_1}{\sqrt{(\omega_0 - \omega)^2 + \omega_1^2}}$$

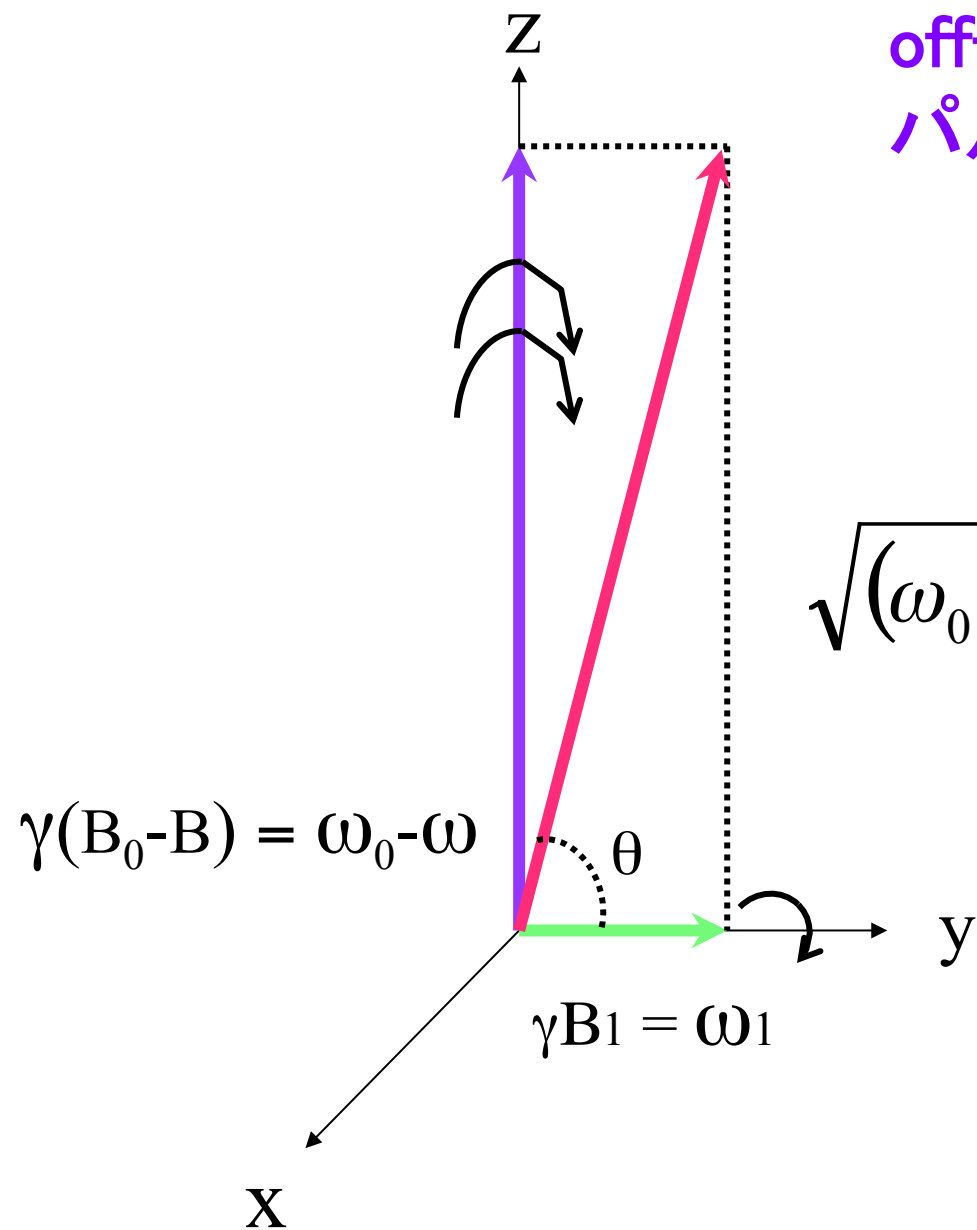
$$\sin \theta = \frac{\omega_0 - \omega}{\sqrt{(\omega_0 - \omega)^2 + \omega_1^2}}$$

ω_1 : パルスを打つ強さの角速度

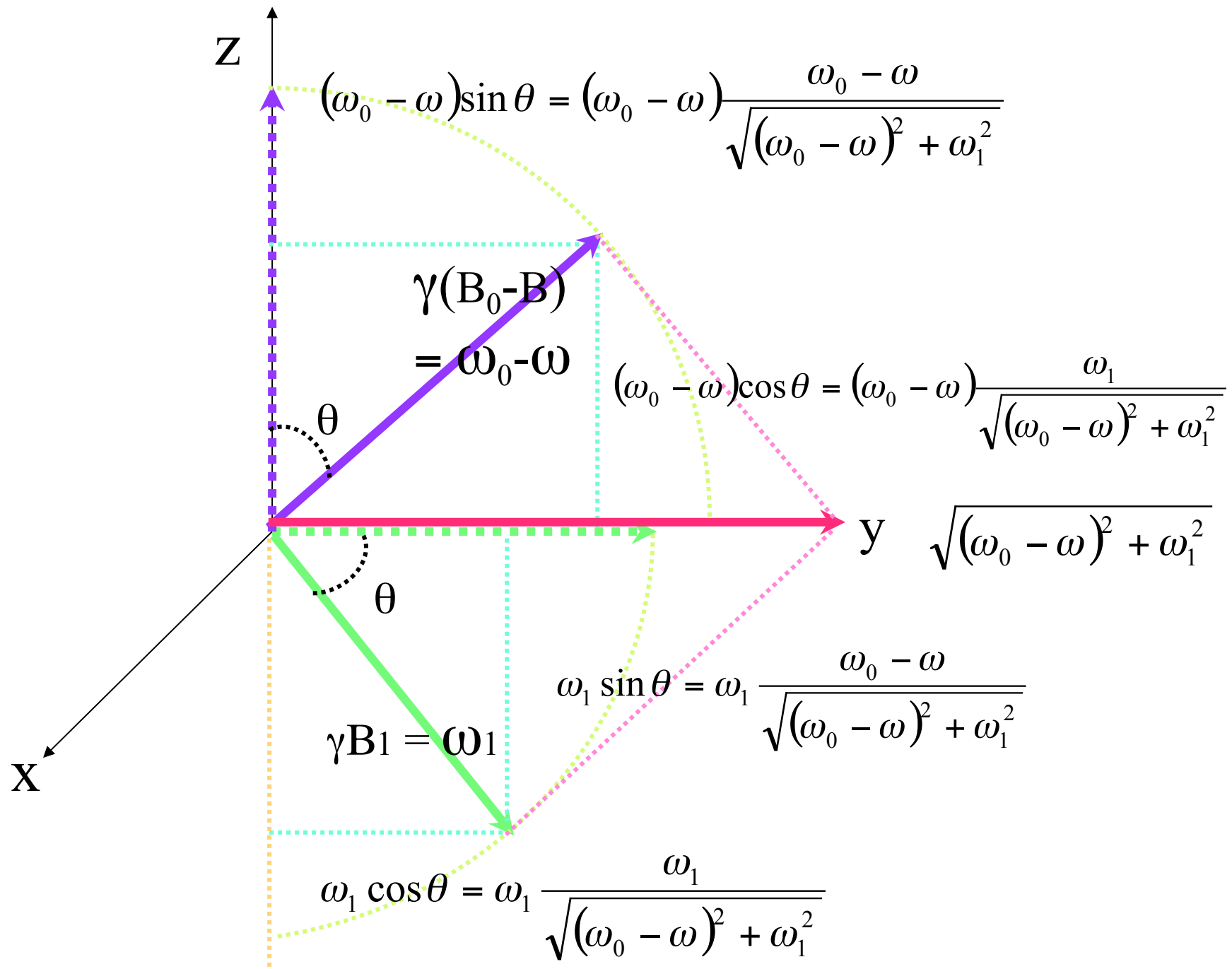
on-resonance に近い場合
パルスの強度が強い場合



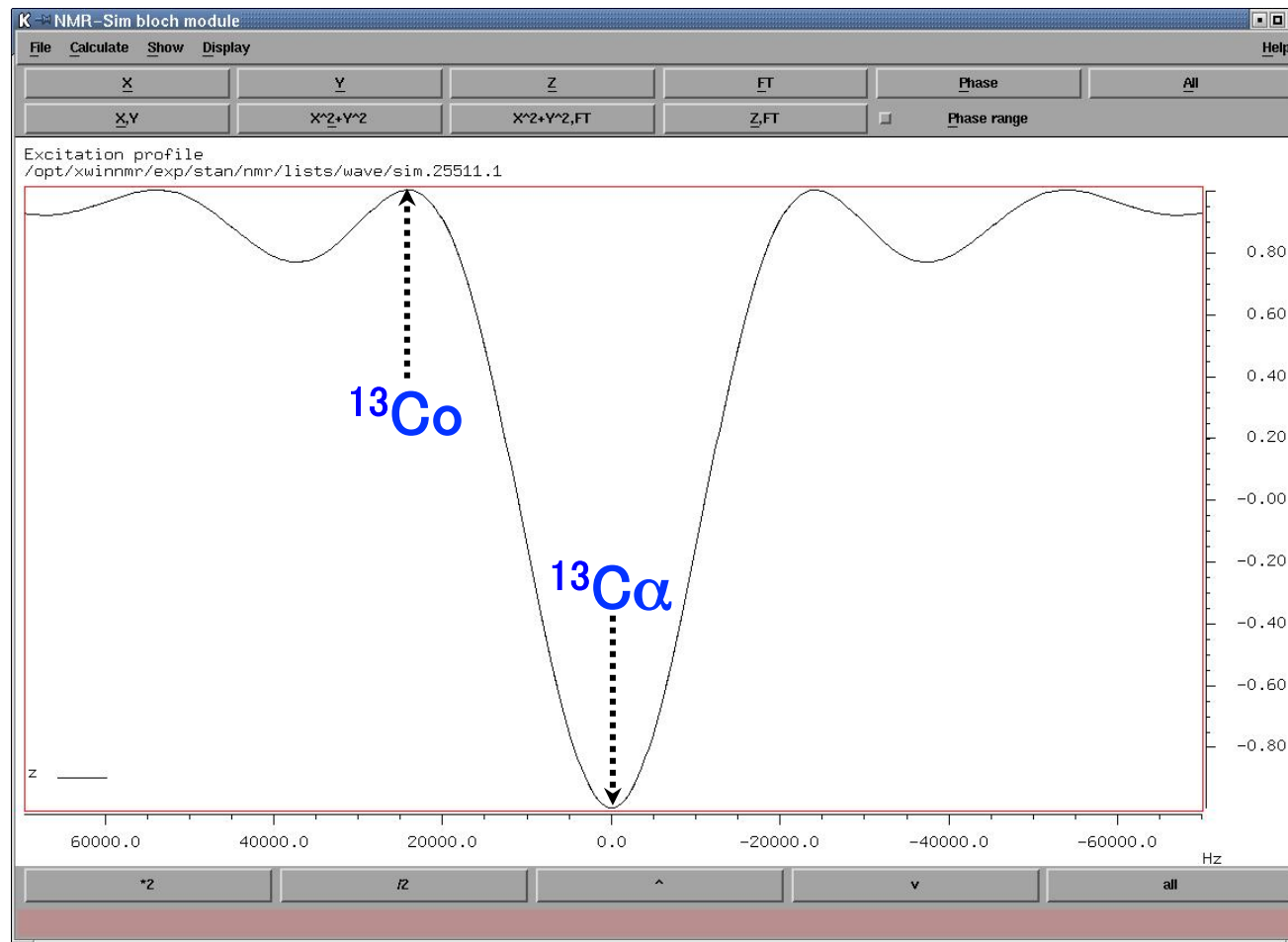
off-resonance の場合
パルスの強度が弱い場合



$$\sqrt{(\omega_0 - \omega)^2 + \omega_1^2} \approx \omega_0 - \omega$$



^{13}Co になるべく影響を与えないような 180° 矩形波 $^{13}\text{Ca}\alpha$ パルス

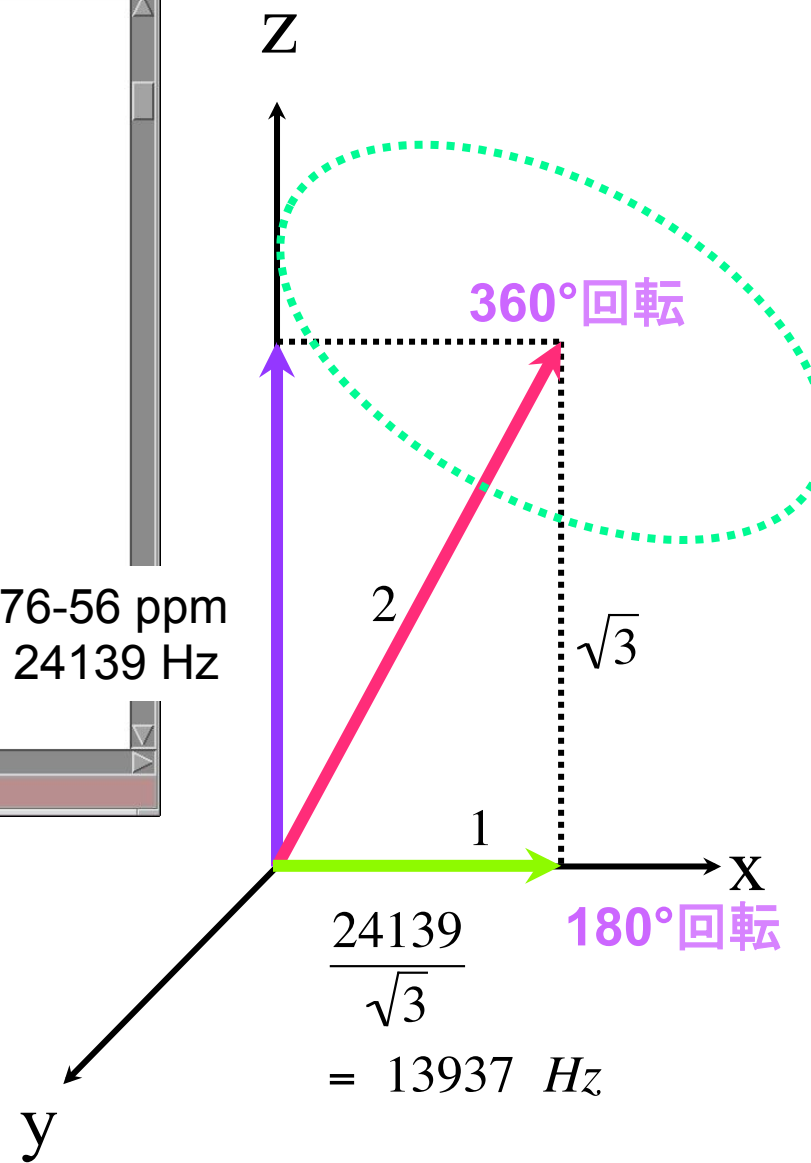
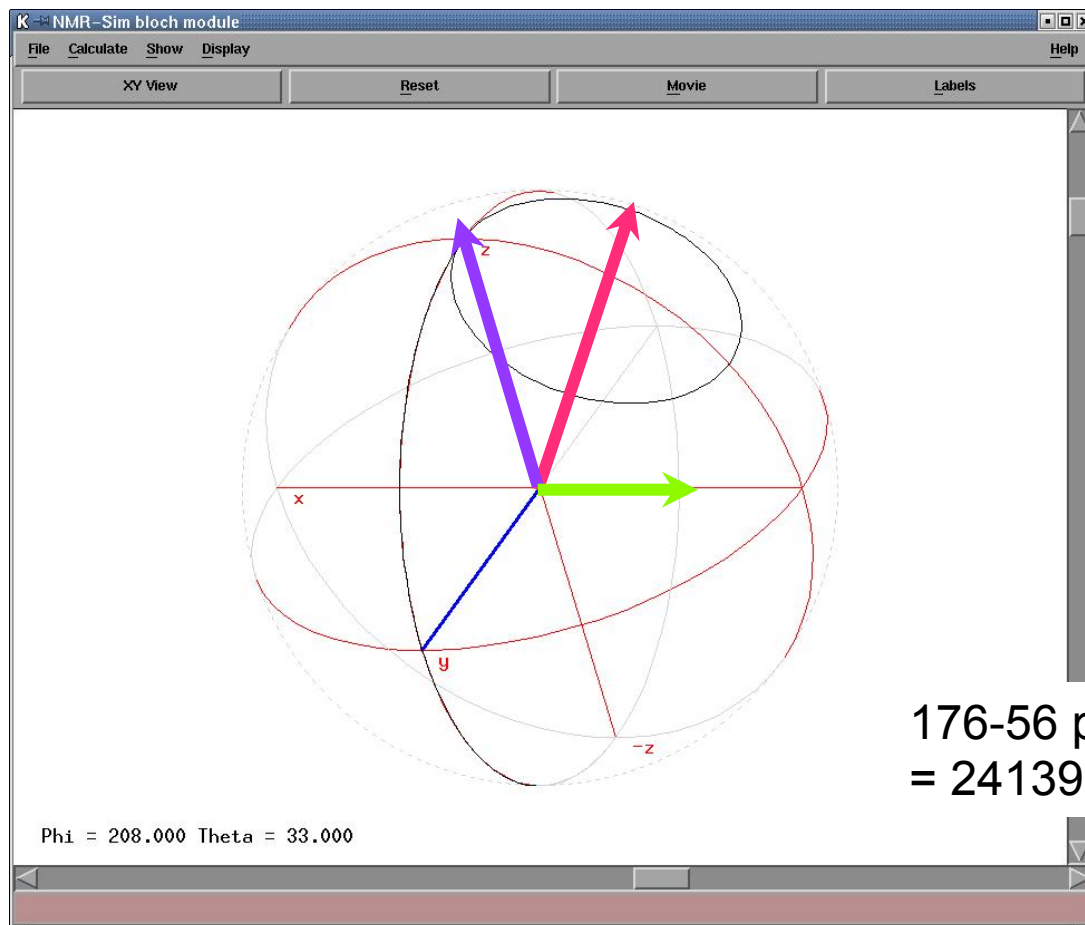


800 MHz NMR の場合 Co (176 ppm) と C α (56 ppm) の間は、

$$800 * 0.25144953 * (176-56) = 24139 \text{ Hz}$$

パルスの強度は、 $\frac{24139}{\sqrt{3}} = 13937 \text{ Hz}$

したがって、 180° 矩形波パルスの長さは、 $\frac{10^6}{13937} \times \frac{1}{2} = 35.9 \mu\text{s}$



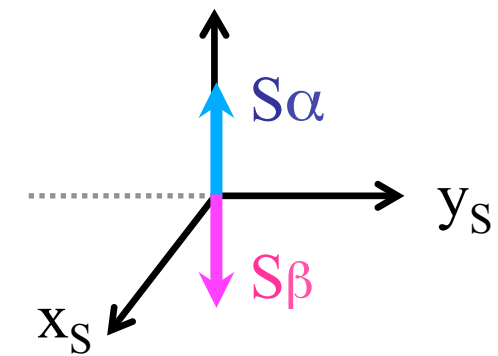
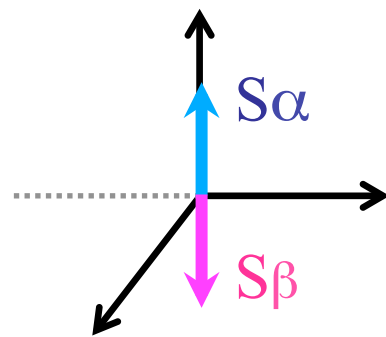
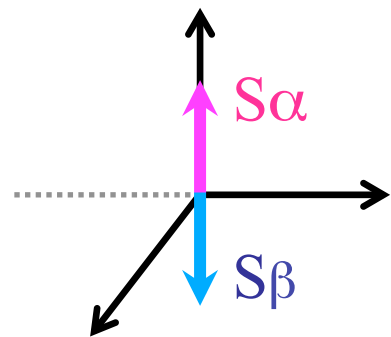
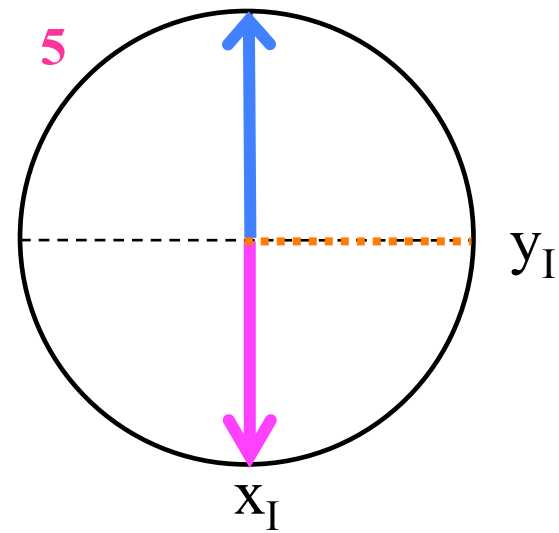
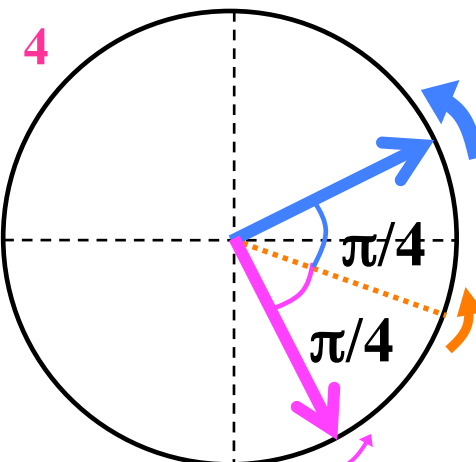
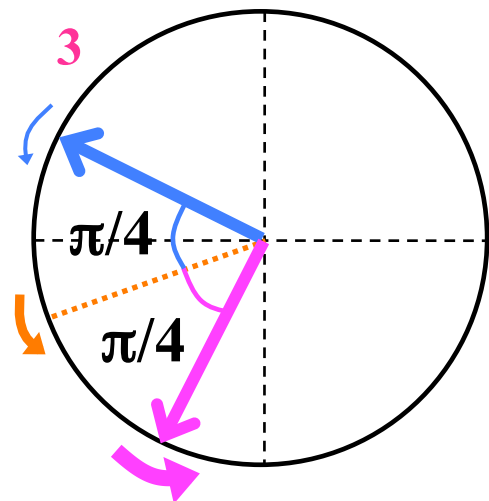
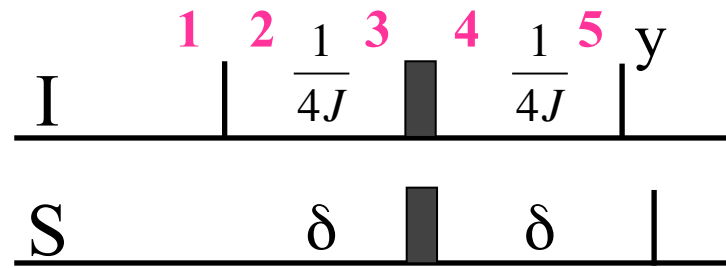
二次元スペクトル --- HSQC を例として ---

$$\begin{aligned} & I_0 \exp(i\omega_I t_2) \exp(i\omega_S t_1) \\ &= I_0 \left\{ \cos(\omega_I t_2) + i \sin(\omega_I t_2) \right\} \left\{ \cos(\omega_S t_1) + i \sin(\omega_S t_1) \right\} \\ &= I_0 \left\{ \cos(\omega_I t_2) + i \sin(\omega_I t_2) \right\} \cos(\omega_S t_1) \\ &+ i I_0 \left\{ \cos(\omega_I t_2) + i \sin(\omega_I t_2) \right\} \sin(\omega_S t_1) \end{aligned}$$

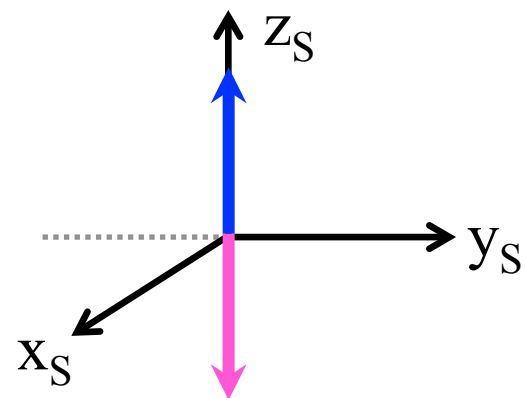
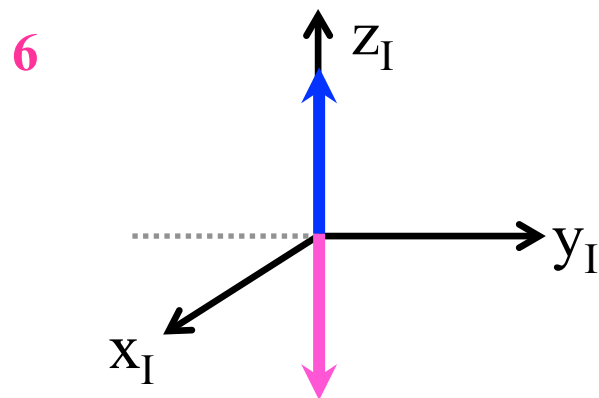
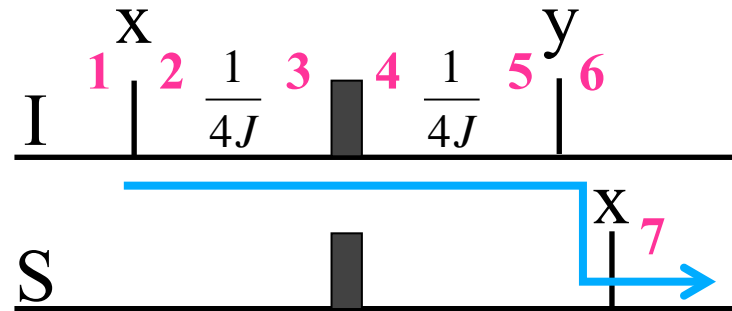
INEPT

$$(\omega - \pi J) \delta = \omega\delta - \pi/4$$

$$(\omega + \pi J) \delta = \omega\delta + \pi/4$$

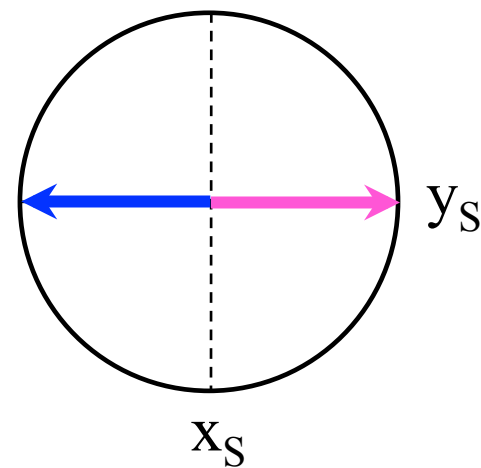
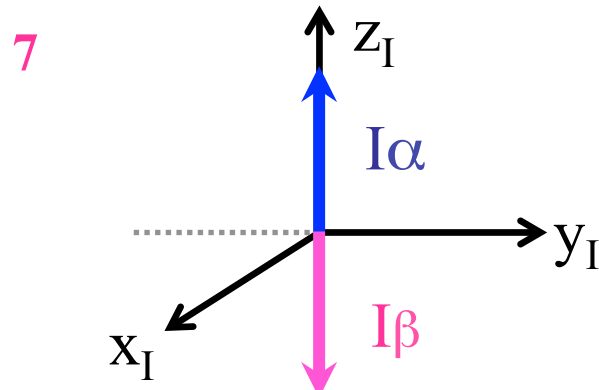


$$-2I_x S_z \sin(\pi J 2\delta)$$



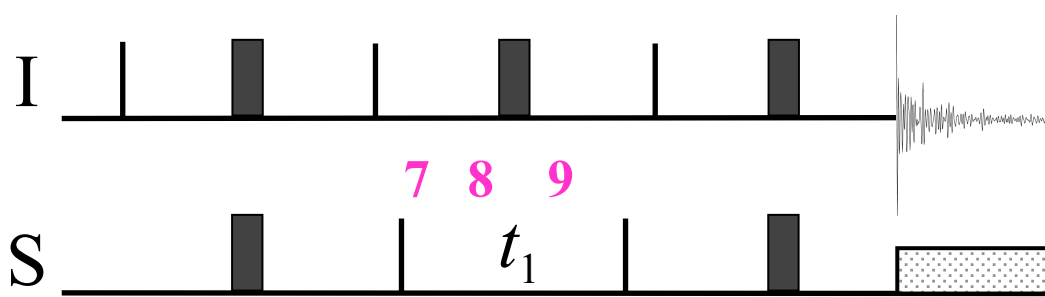
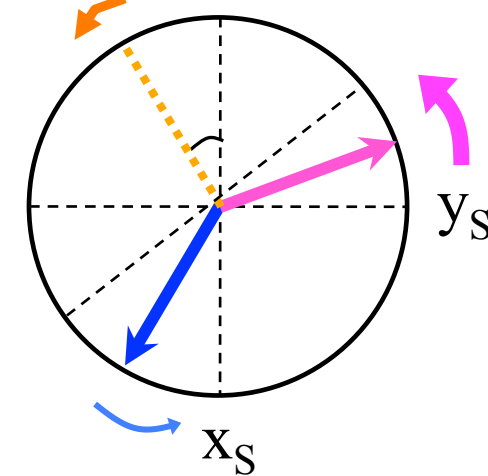
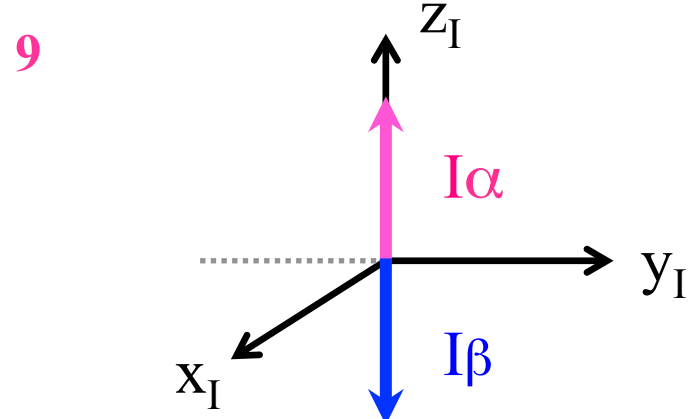
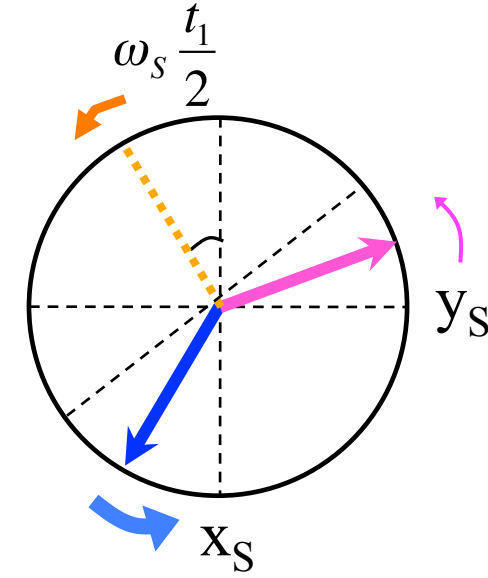
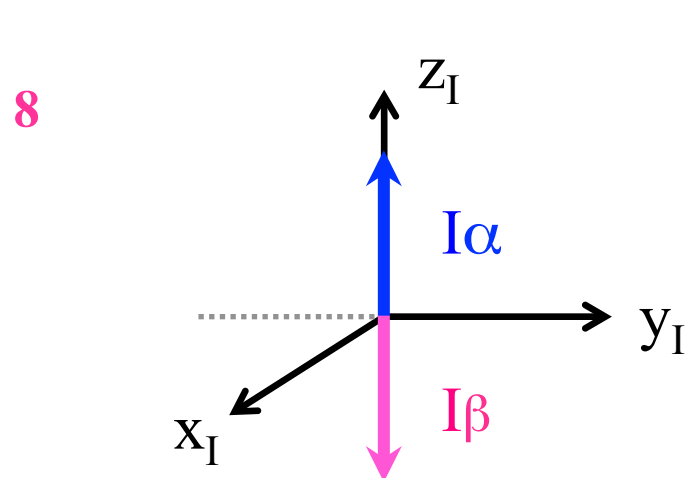
2-spin-order
磁化移動
の分岐点

$$2IzSz$$



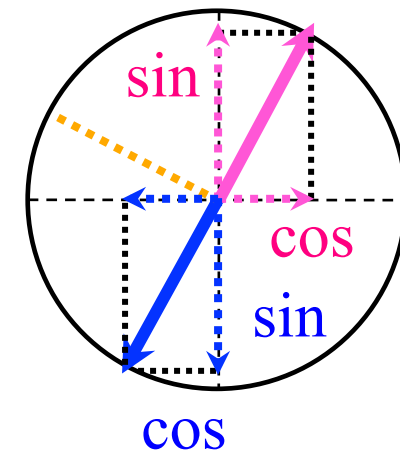
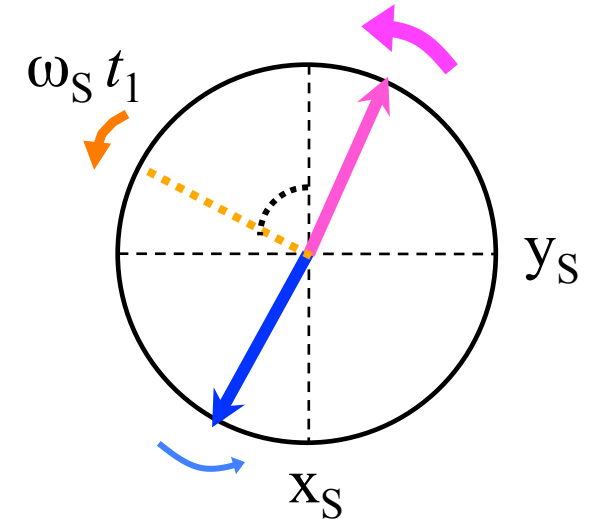
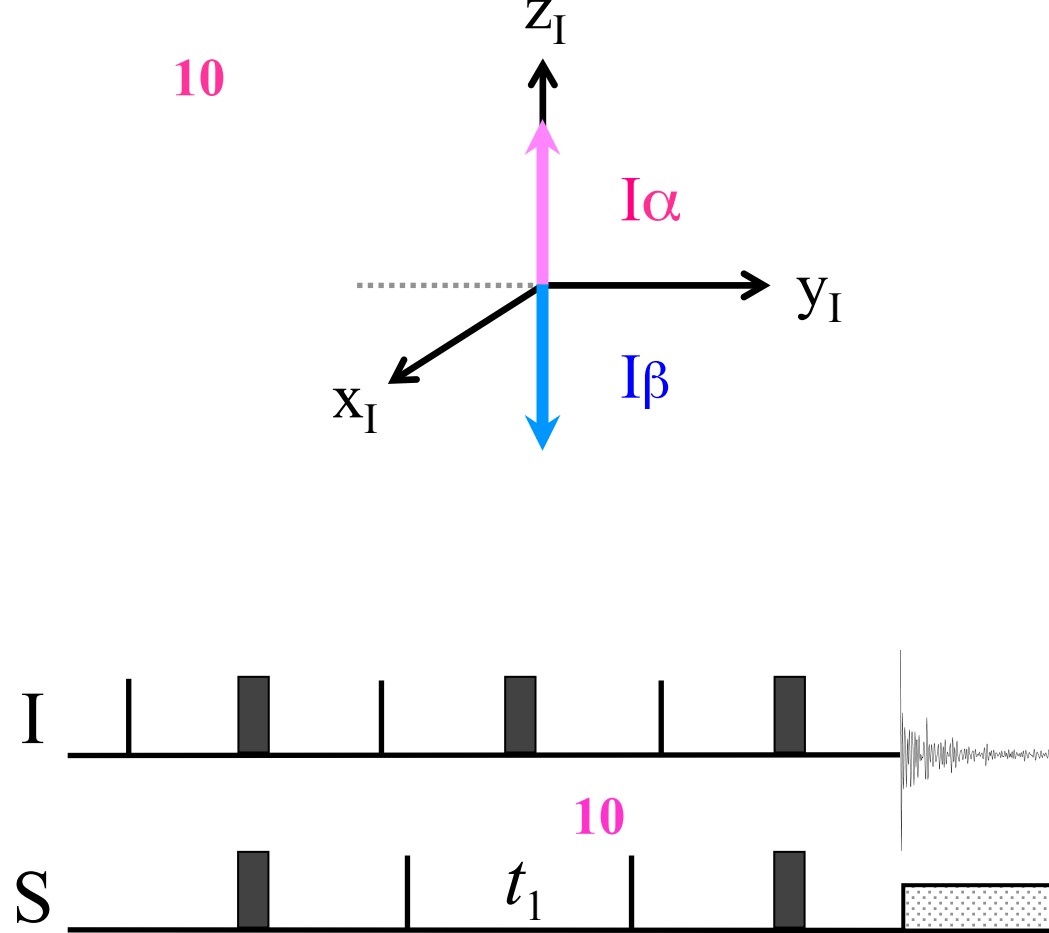
5 とは
I と S が逆

$$-2IzSy$$

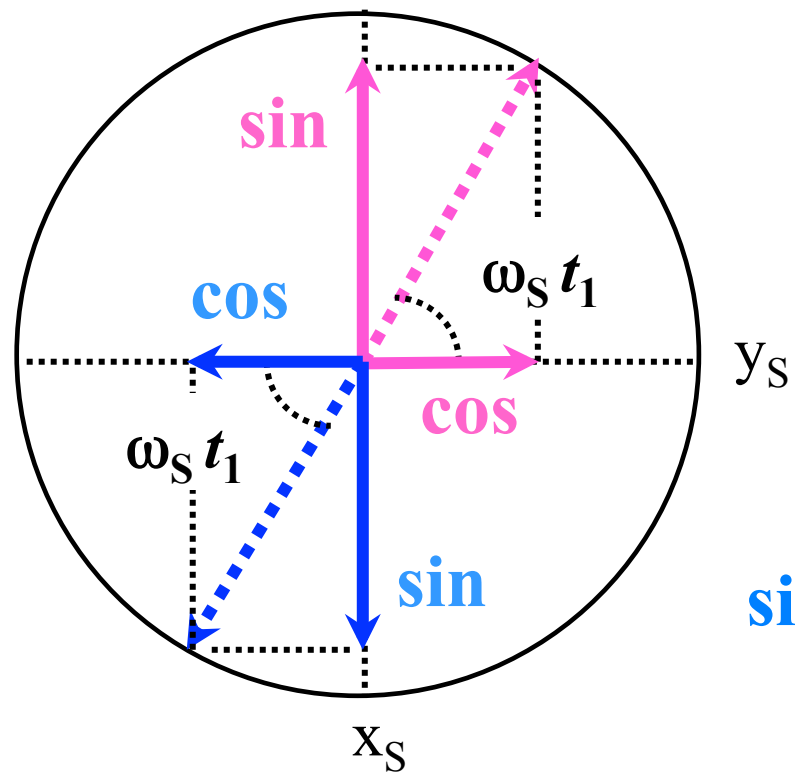


$$2IzSy \cos(\omega_S t_1) = (I\alpha - I\beta)Sy \cos(\omega_S t_1)$$

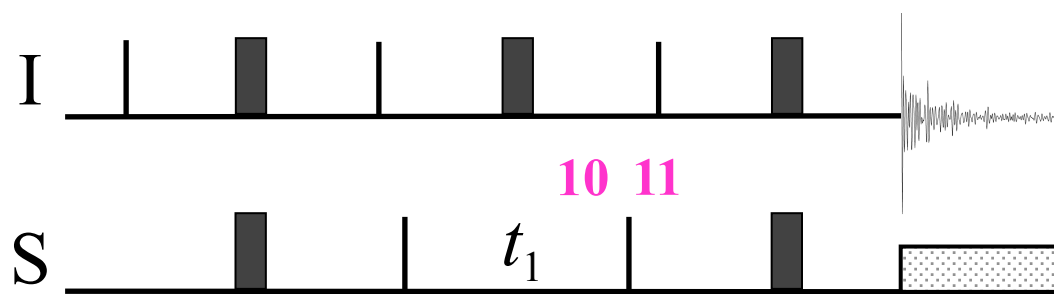
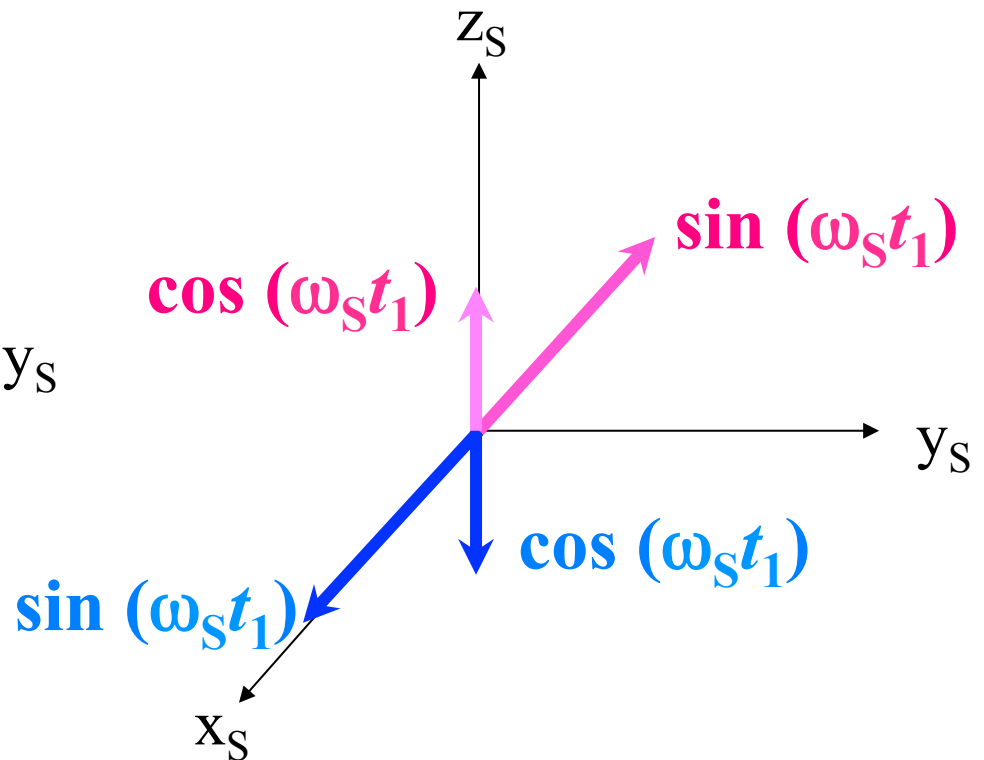
$$-2IzSx \sin(\omega_S t_1) = (I\beta - I\alpha)Sx \sin(\omega_S t_1)$$



10 $2IzSy \cos(\omega_S t_1)$
 $-2IzSx \sin(\omega_S t_1)$



11 $2IzSz \cos(\omega_S t_1)$
 $-2IzSx \sin(\omega_S t_1)$

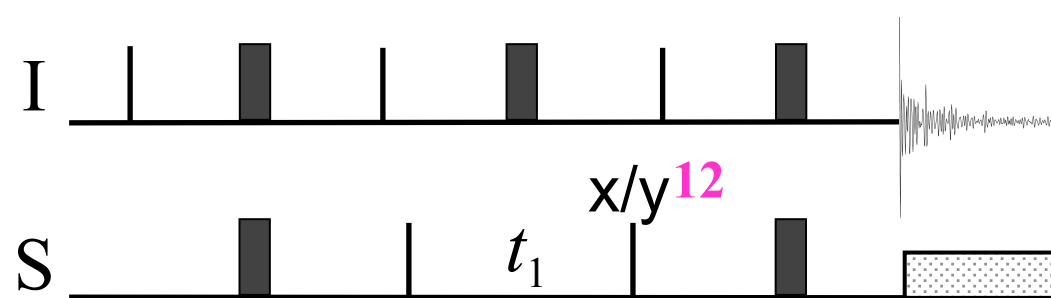
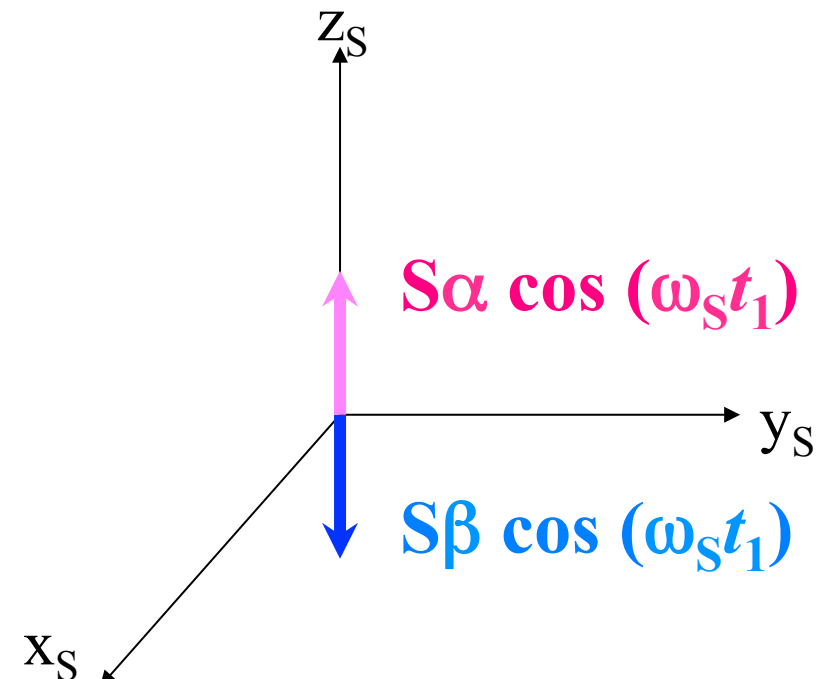
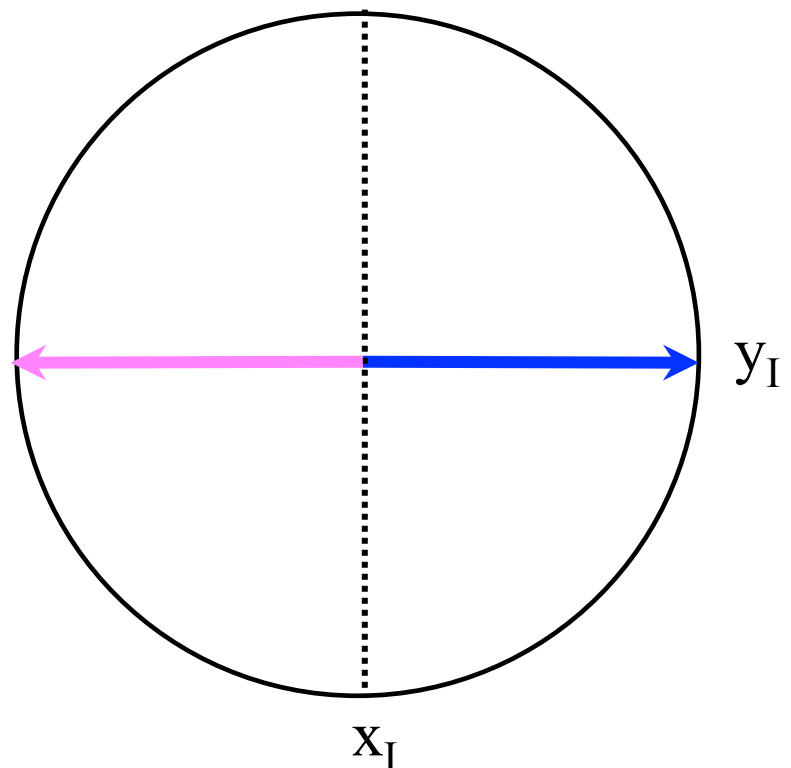


10 11

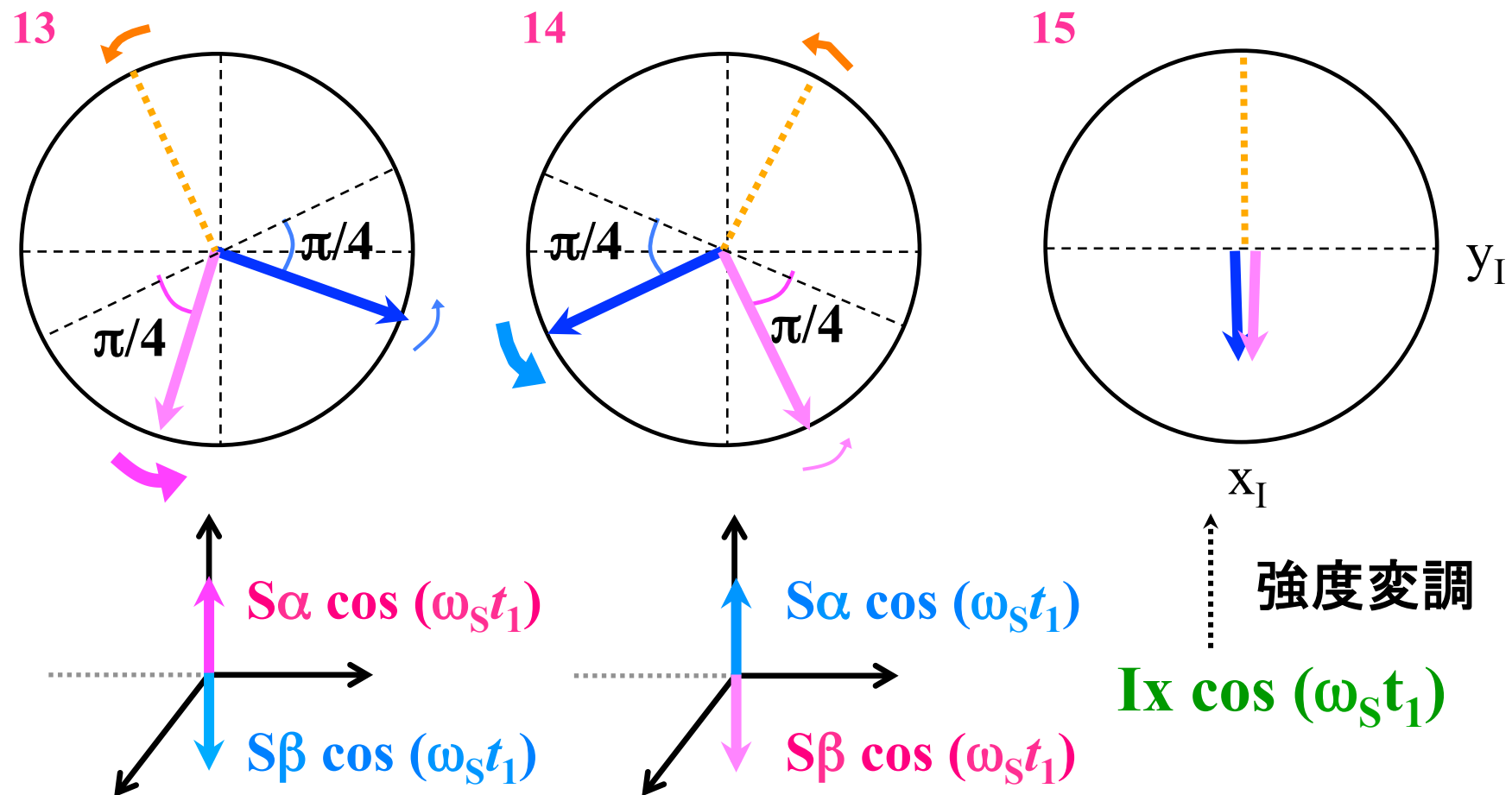
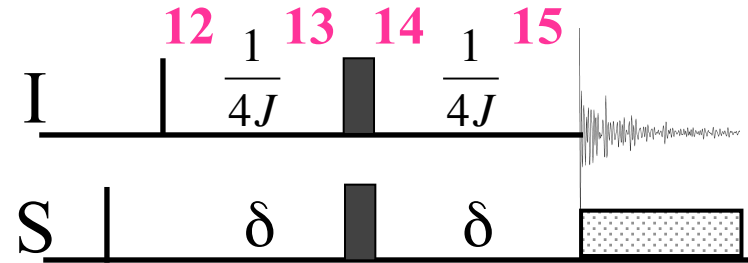
t_1

$$12 \quad -2IySz \cos(\omega_S t_1) \\ +2IySx \sin(\omega_S t_1)$$

MQ なので観測出来ない
位相回しなどで消してしまう
次は S への 90y パルスで選択する



reverse INEPT

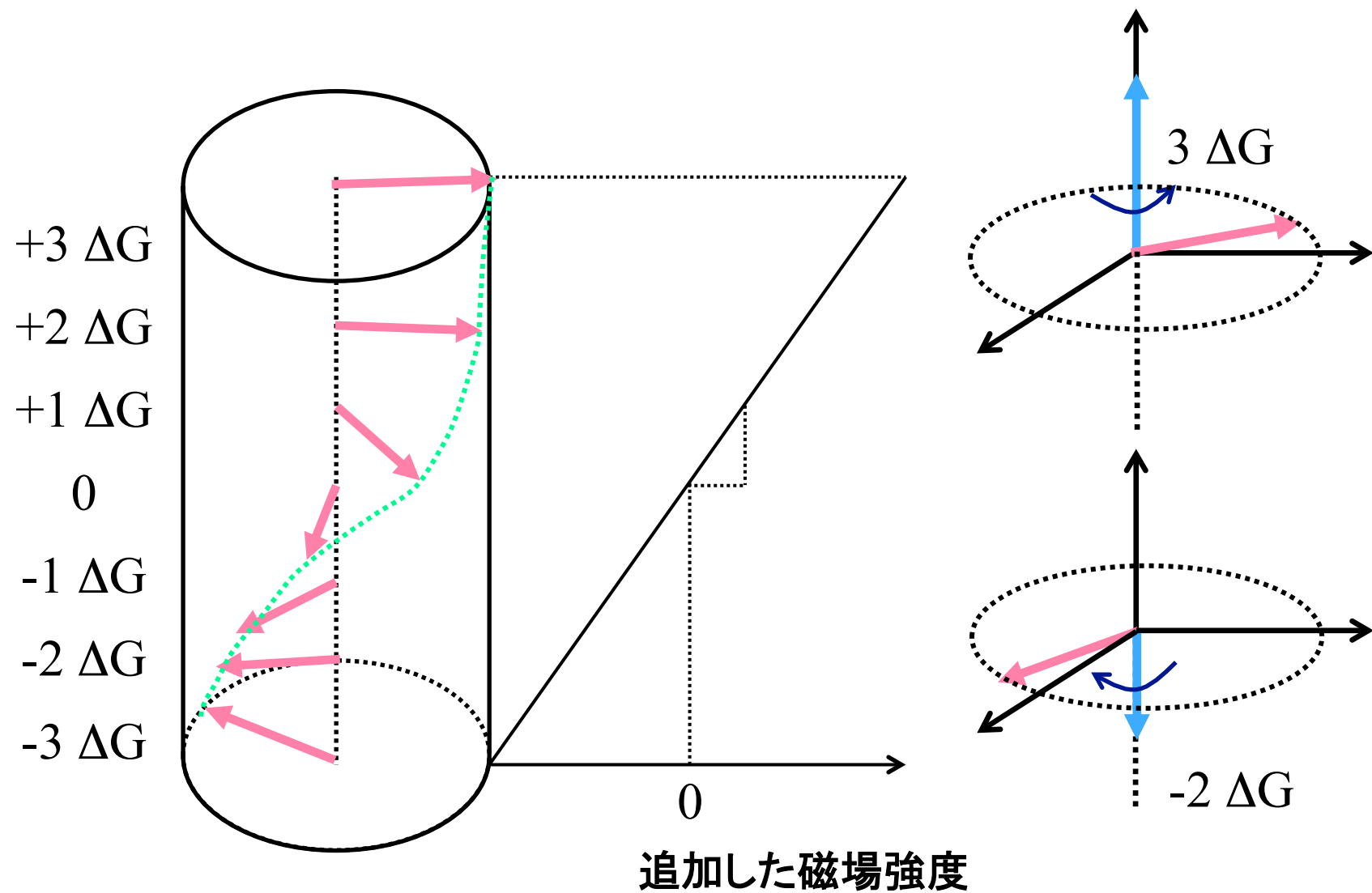


傾斜磁場勾配パルス

--- pulsed field gradient ---

$$\phi(t) = \gamma B_0 t + \gamma \int_0^t G(\tau) z(\tau) d\tau$$

Z 方向沿いのパルス - gradient -



(例) 傾斜磁場勾配(gradient)パルスをかける

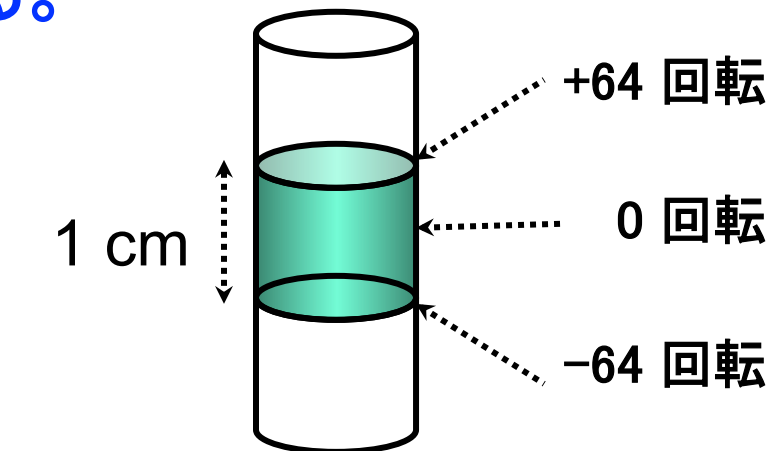
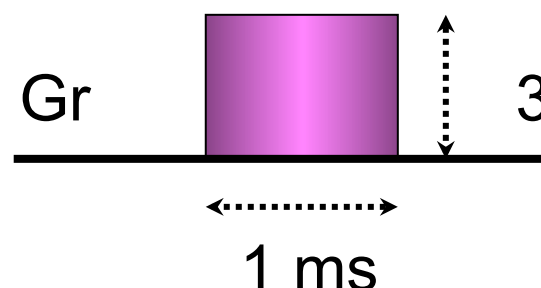
30 G/cm for 1 ms (矩形波パルス)

$$30 \text{ G} = 0.003 \text{ T}$$

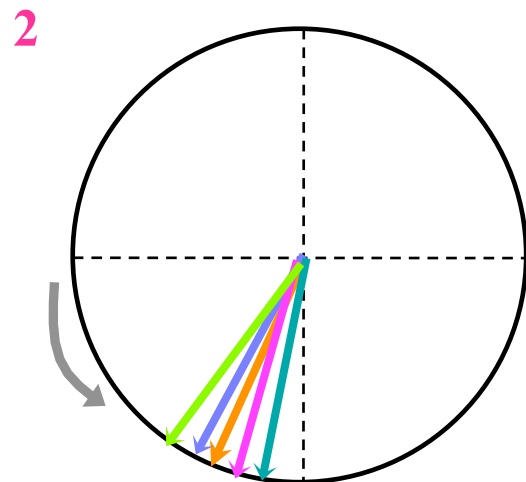
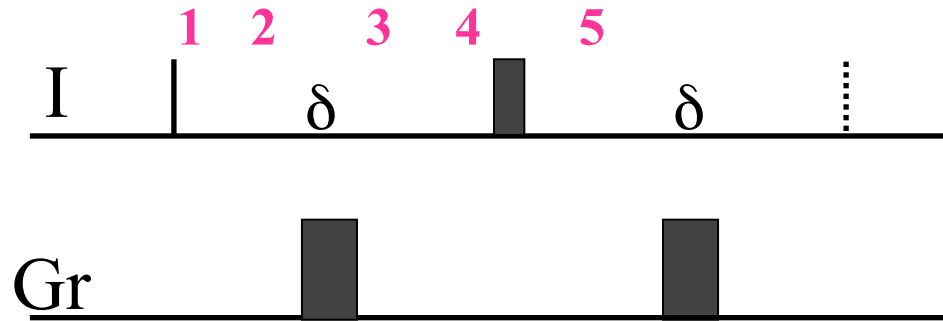
$$0.003 \text{ T} * (100 \text{ MHz} / 2.34866 \text{ T}) = 0.1277 \text{ MHz} (^1\text{H})$$

$$0.1277 \text{ MHz} * 1 \text{ ms} = 128 \text{ 回転 (/cm)}$$

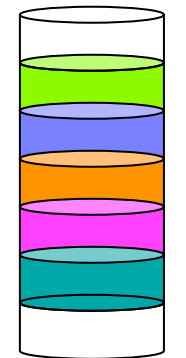
1ミリ秒後には、試料管の上下 1cm の間で、
128 回転の差が出来ている。



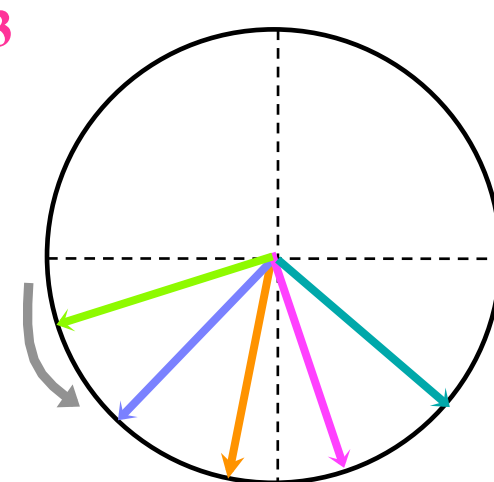
Gradient-echo (1)



実際は揃っているとする

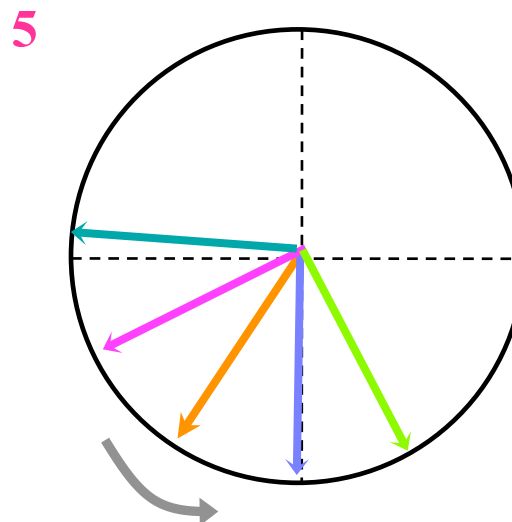
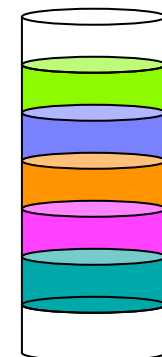
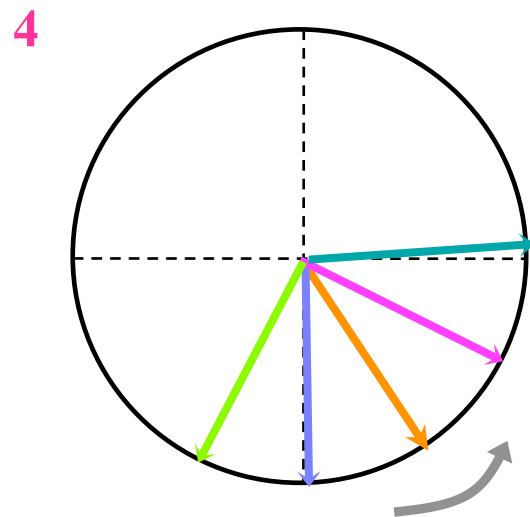
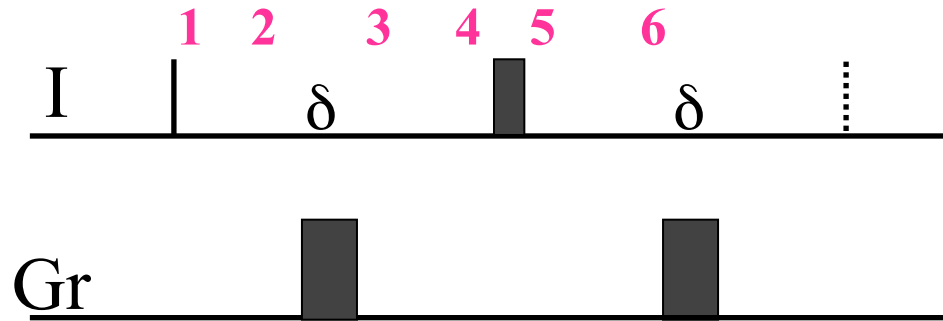


遅い
↑
↓
速い



同じ共鳴の磁化でも
扇のように広がってしまう。

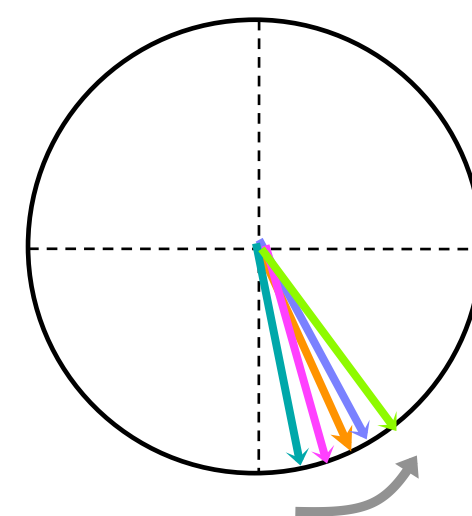
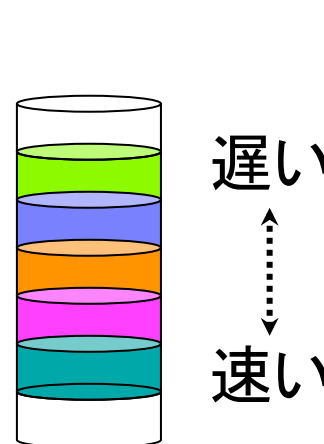
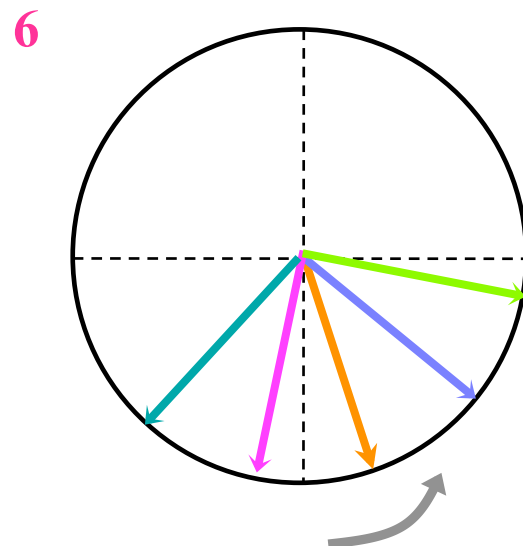
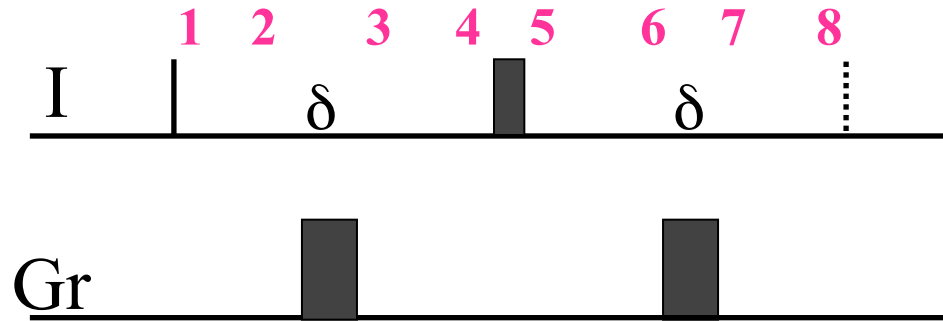
Gradient-echo (2)



扇の広がり度合いは固定したまま
化学シフトで展開する。

反転する。

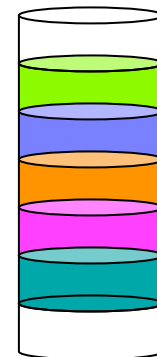
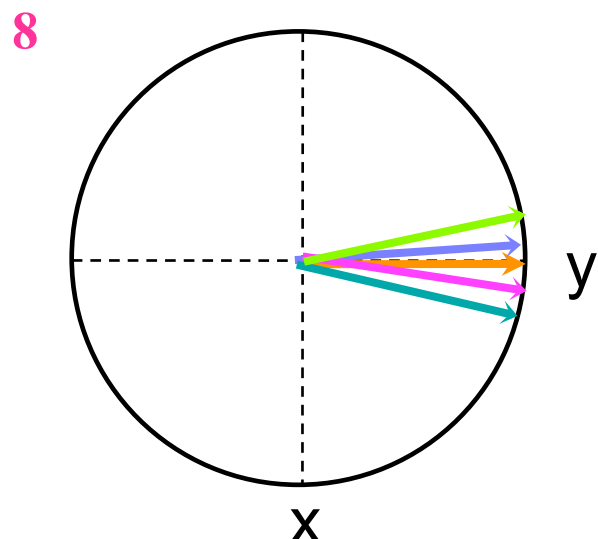
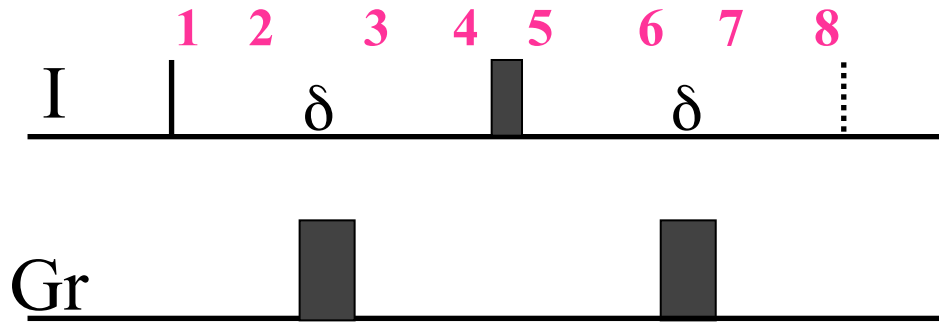
Gradient-echo (3)



扇の広がり程度は固定したまま
化学シフトで展開する。

扇の広がりが閉じる。

Gradient-echo (4)



δ の中のどの時間に
Gr を打ってもよい。

磁化が揃ったまま +y 方向に行き着く。

フーリエ変換

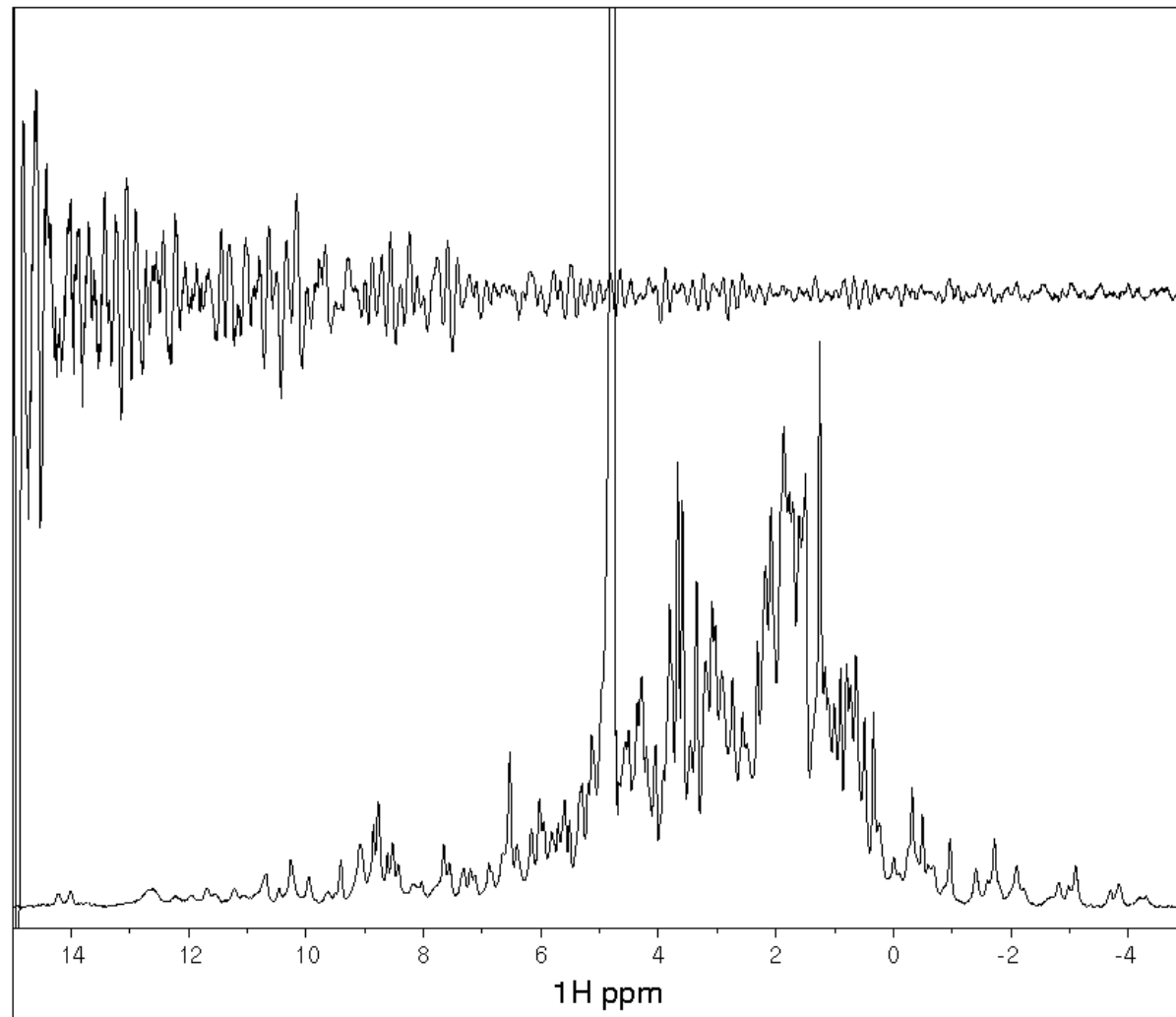
$$S(\omega) = \int_{-\infty}^{\infty} S(t) \exp(-i\omega t) dt$$



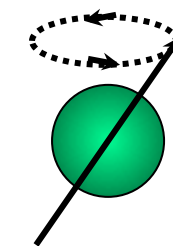
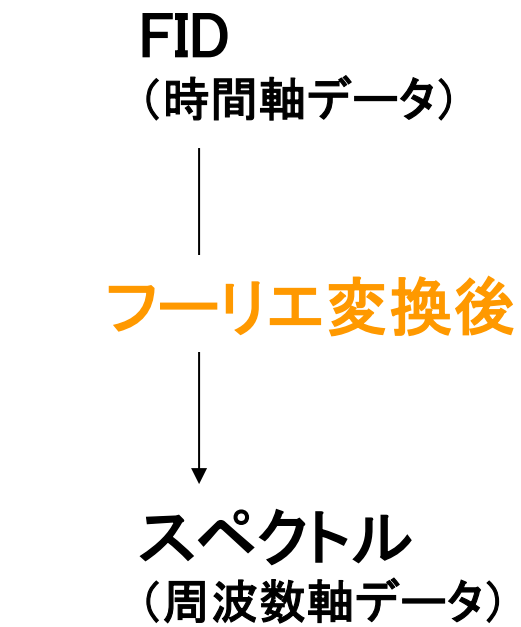
1768-1830 フランスの数学、物理学者

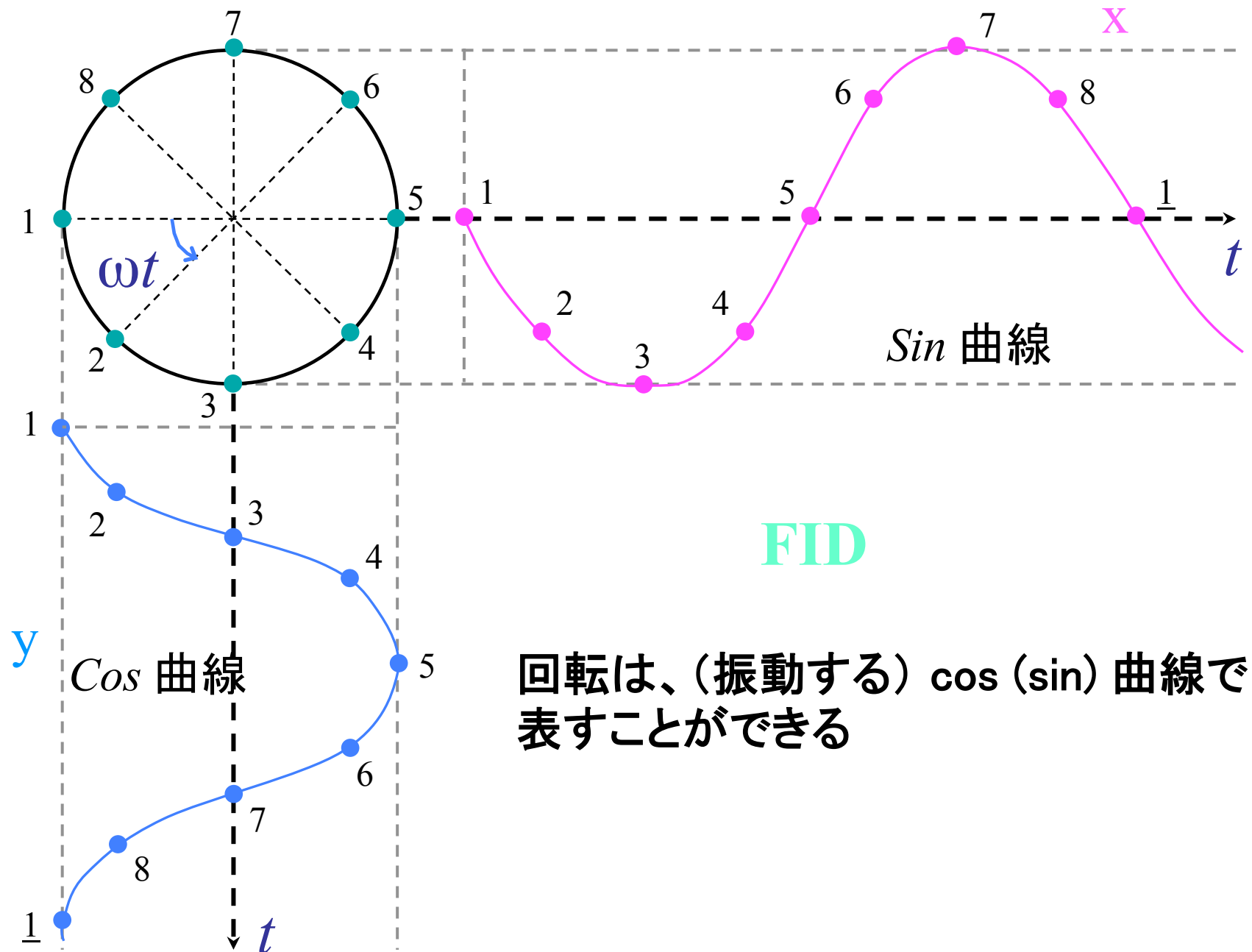
1789年 フランス革命に遭遇
ナポレオンに随行してエジプトに遠征
ロゼッタ・ストーンを発見

FID をフーリエ変換すると、NMR スペクトルになる

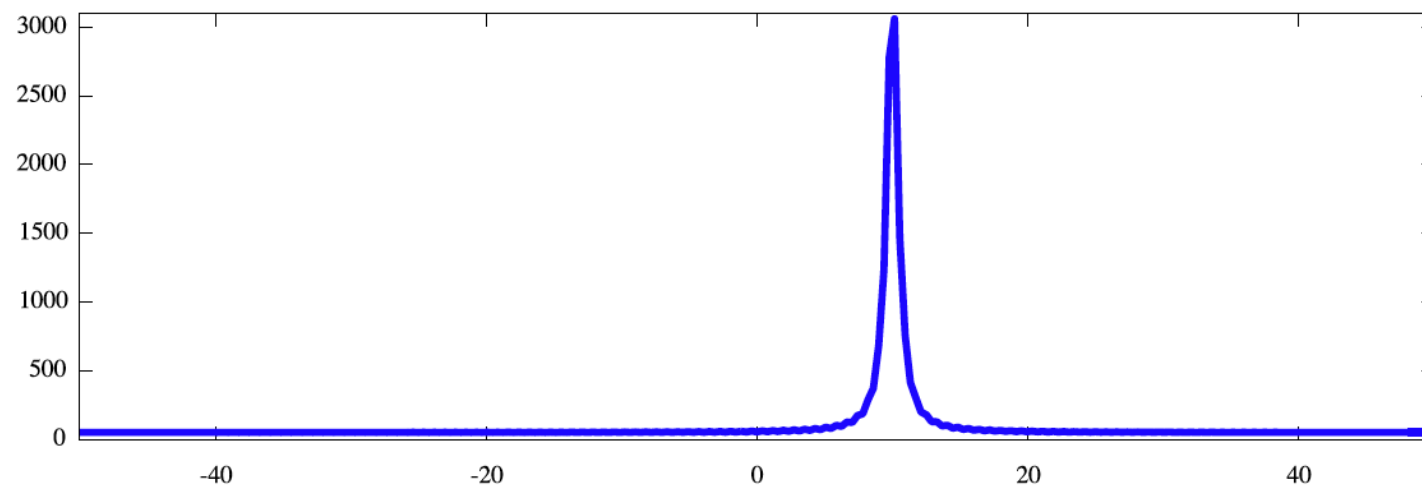
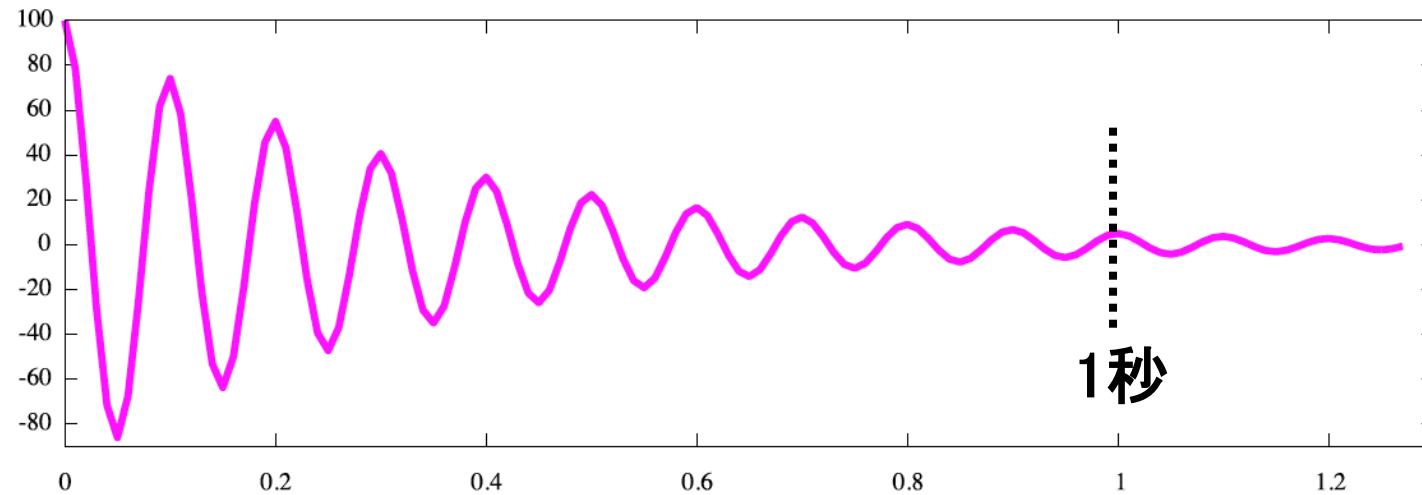


^1H スピンの回転速度を表す



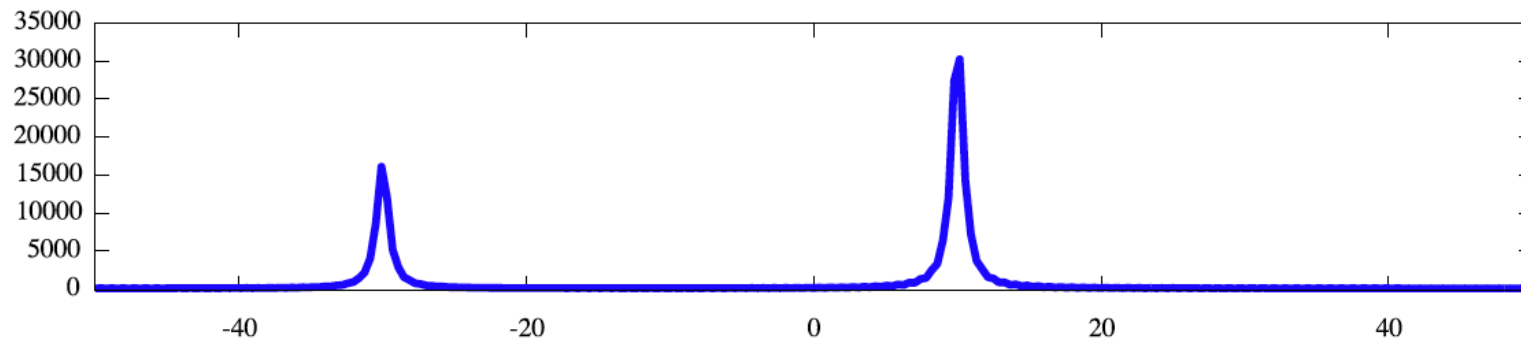
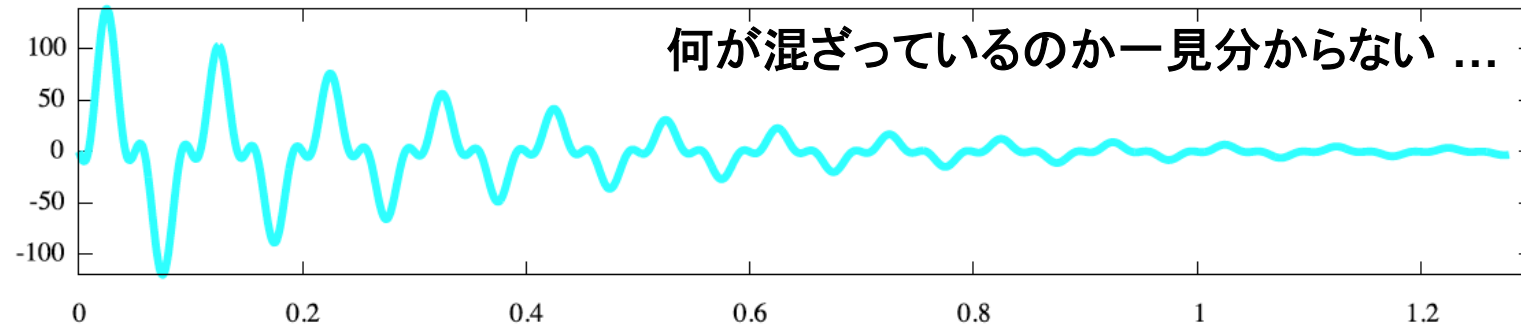
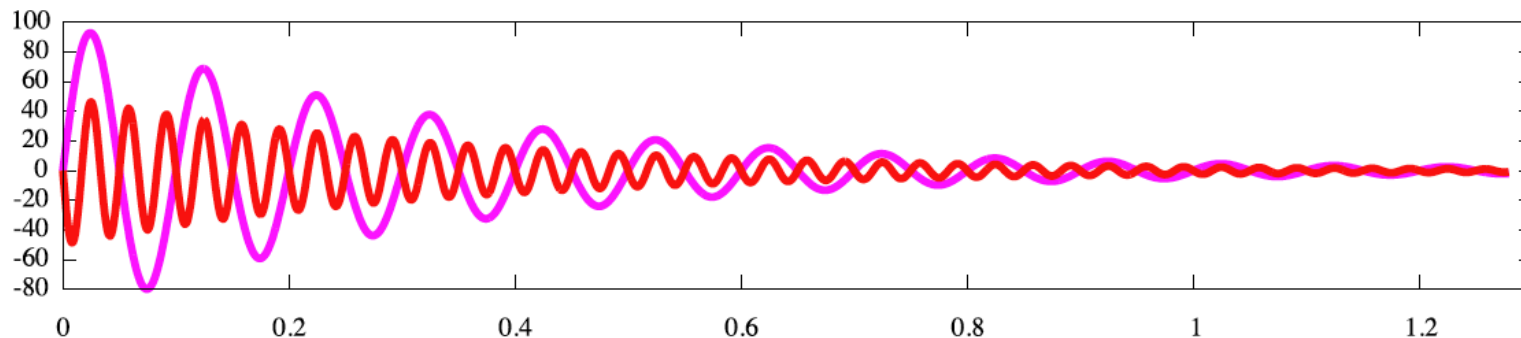


1秒間に 10 回転していたら



10 Hz の位置にピークが出た。

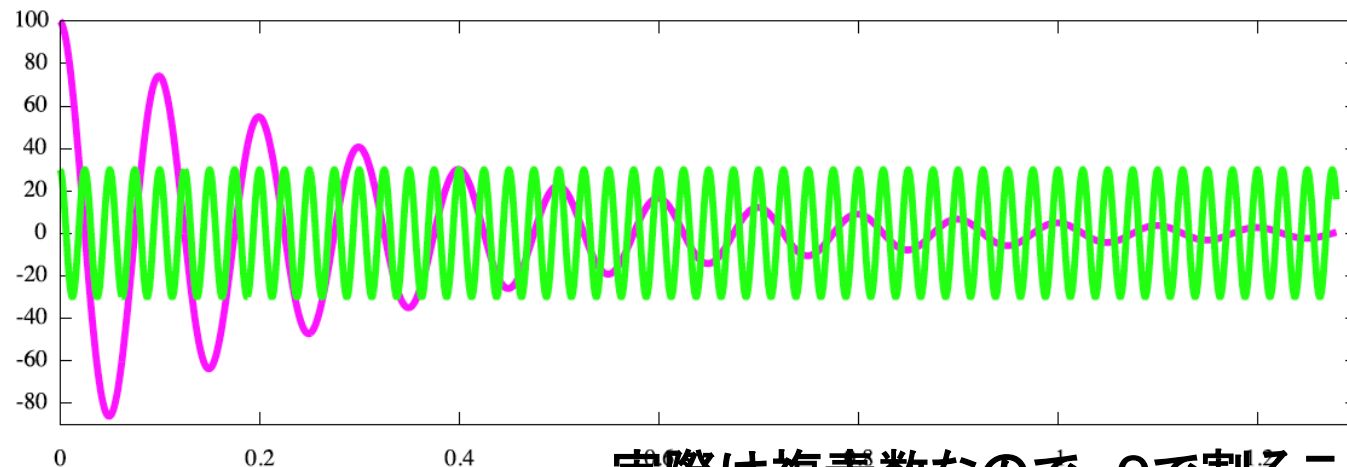
もう一つ、1秒間に 30 回、しかも、逆向きに回転していたら



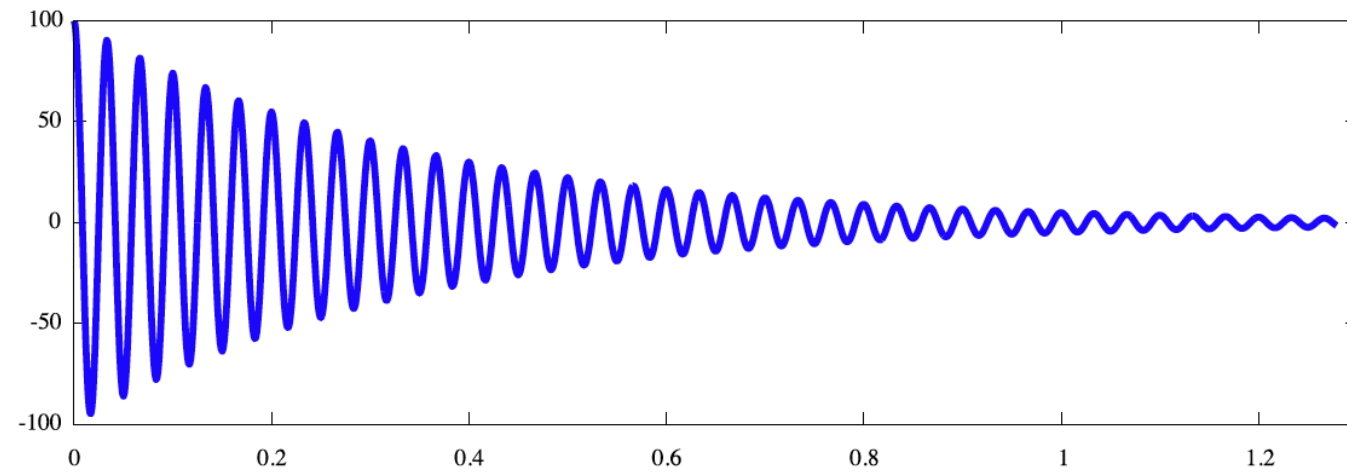
10 Hz と -30Hz の位置にピークが出た。
周波数だけでなく、大きさまで、きっちりと分けられた！

$$S(\omega) = \int_{-\infty}^{\infty} S(t) \exp(-i\omega t) dt = \int_{-\infty}^{\infty} \frac{S(t)}{\exp(i\omega t)} dt$$

では、試しに $\exp(i * 40 * t)$ で割ってみよう。



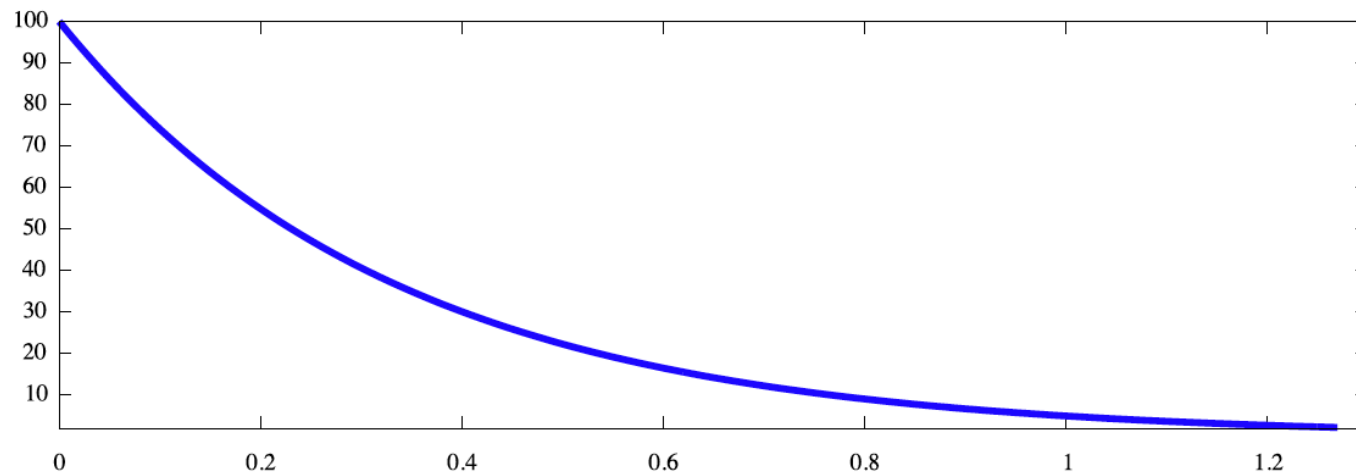
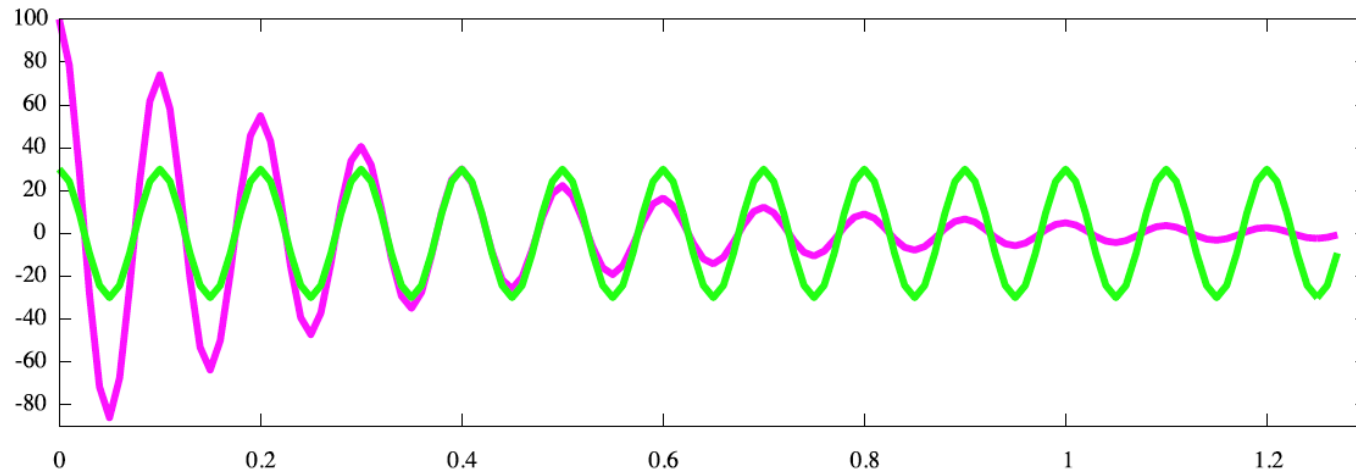
実際は複素数なので、0で割ることはない。



端から端まで足し合わせると0になるから、40 Hz は間違いのようだ。

$$S(\omega) = \int_{-\infty}^{\infty} S(t) \exp(-i\omega t) dt = \int_{-\infty}^{\infty} \frac{S(t)}{\exp(i\omega t)} dt$$

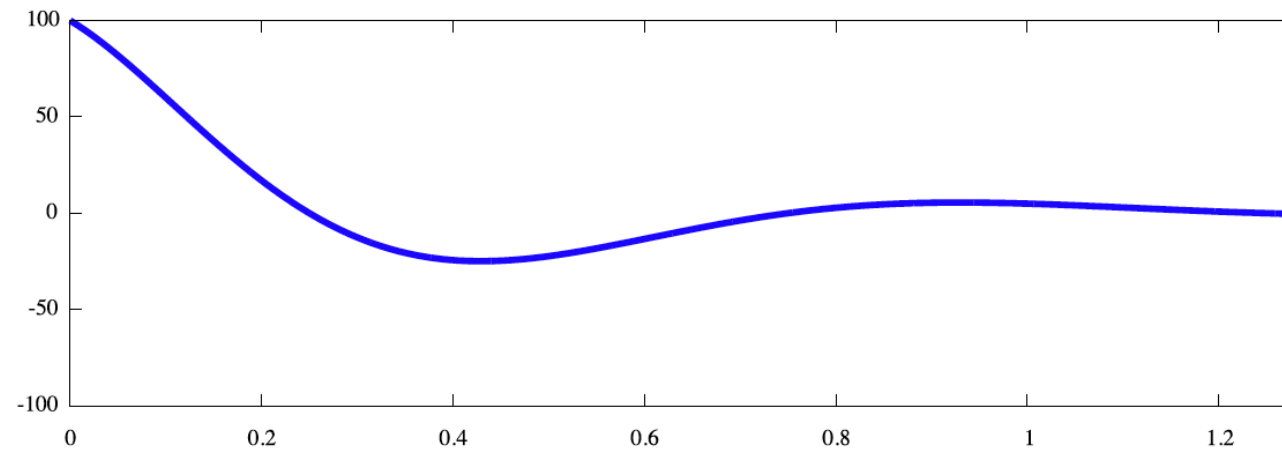
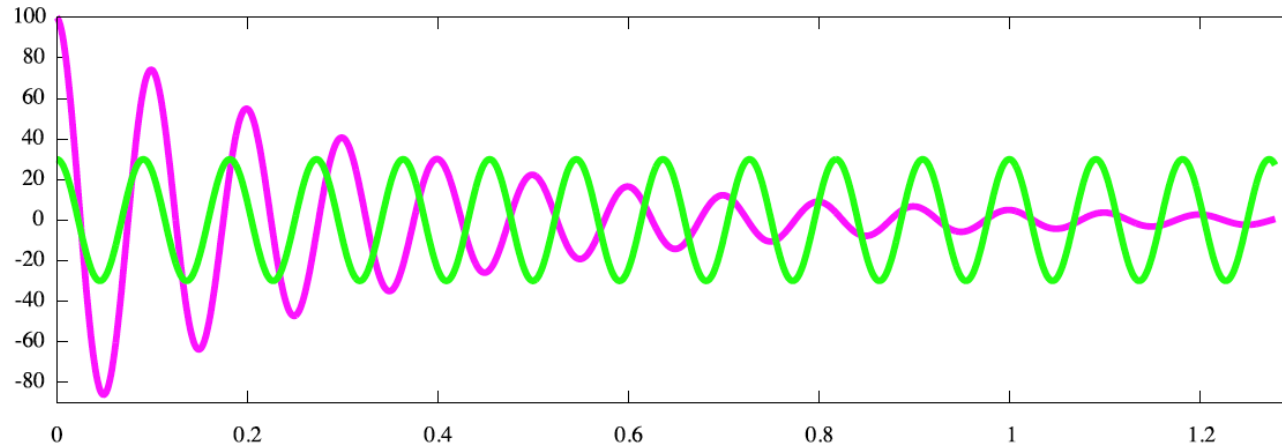
今度は、実際に $\exp(i * 10 * t)$ で割ってみよう。



端から端まで足し合わせても0ではないから、10 Hz が正しいようだ。

$$S(\omega) = \int_{-\infty}^{\infty} S(t) \exp(-i\omega t) dt = \int_{-\infty}^{\infty} \frac{S(t)}{\exp(i\omega t)} dt$$

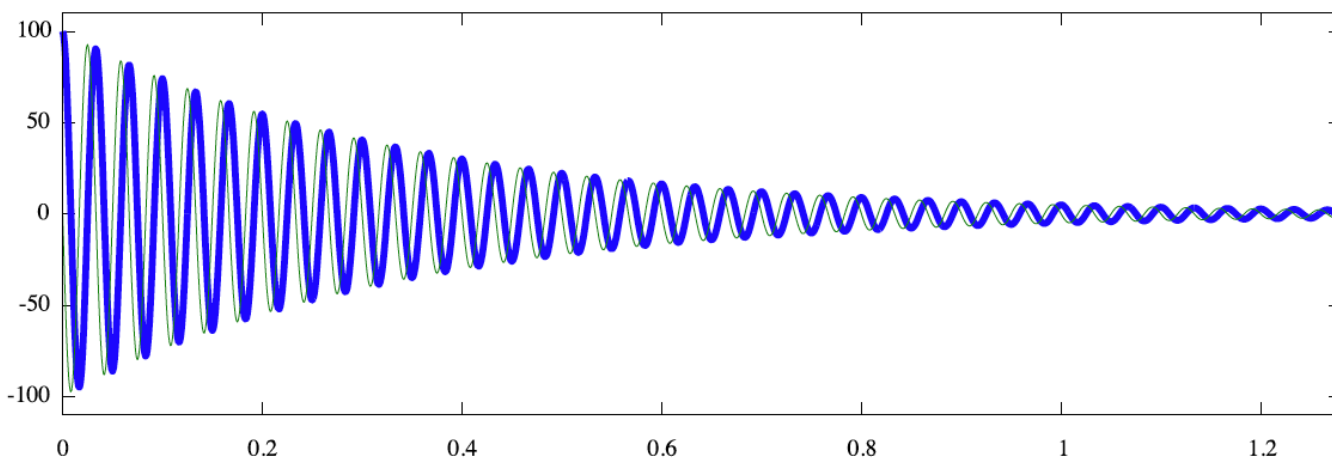
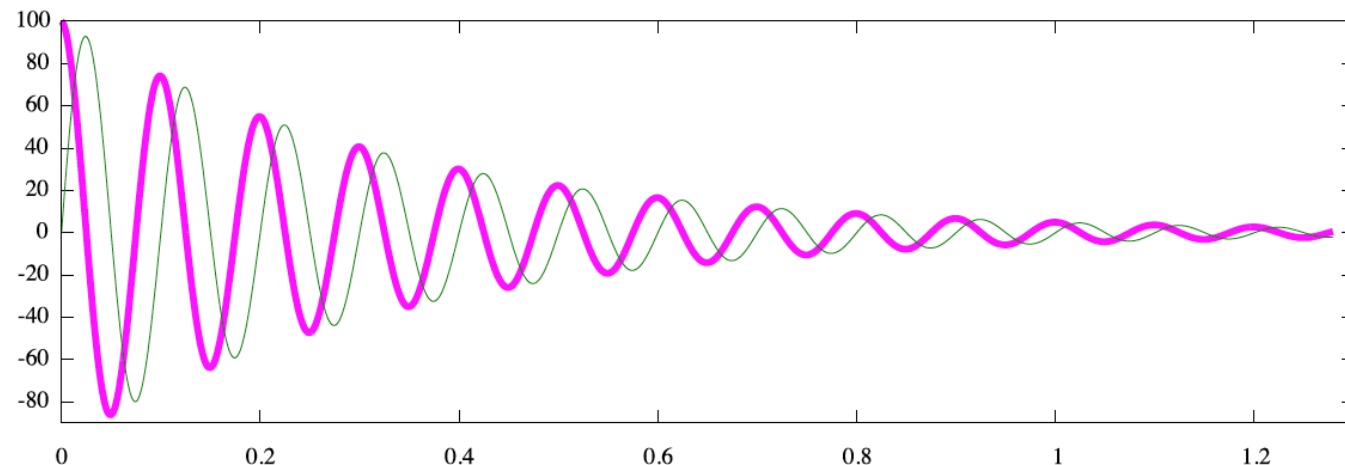
では、 $\exp(i * 11 * t)$ で割ったら、どうなるのだろう？



微妙 ... 減衰していなければ0になるのだが。

$$S(\omega) = \int_{-\infty}^{\infty} S(t) \exp(-i\omega t) dt = \int_{-\infty}^{\infty} S(t) \exp(i(-\omega)t) dt$$

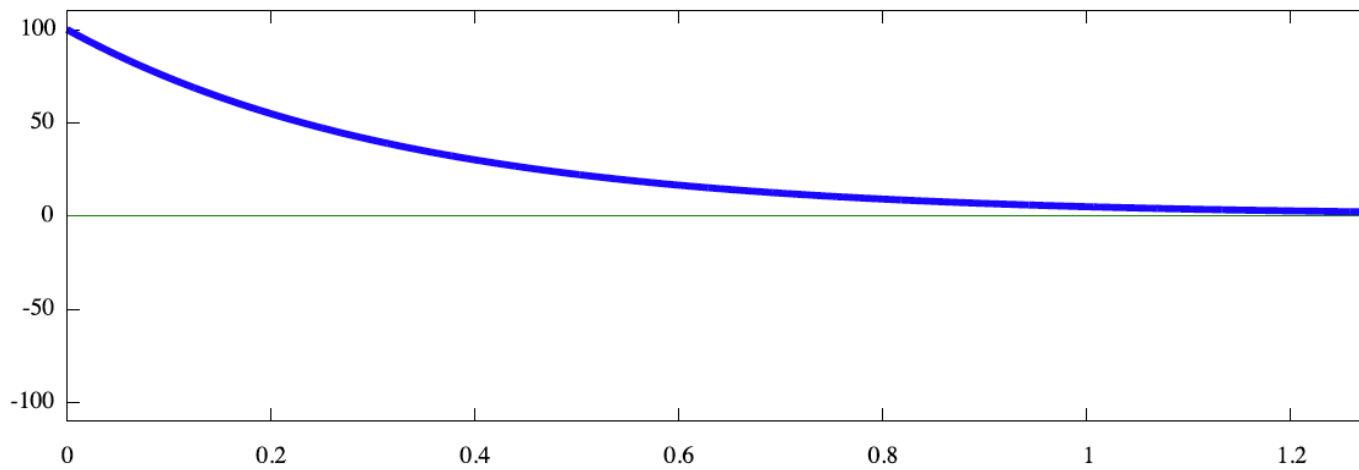
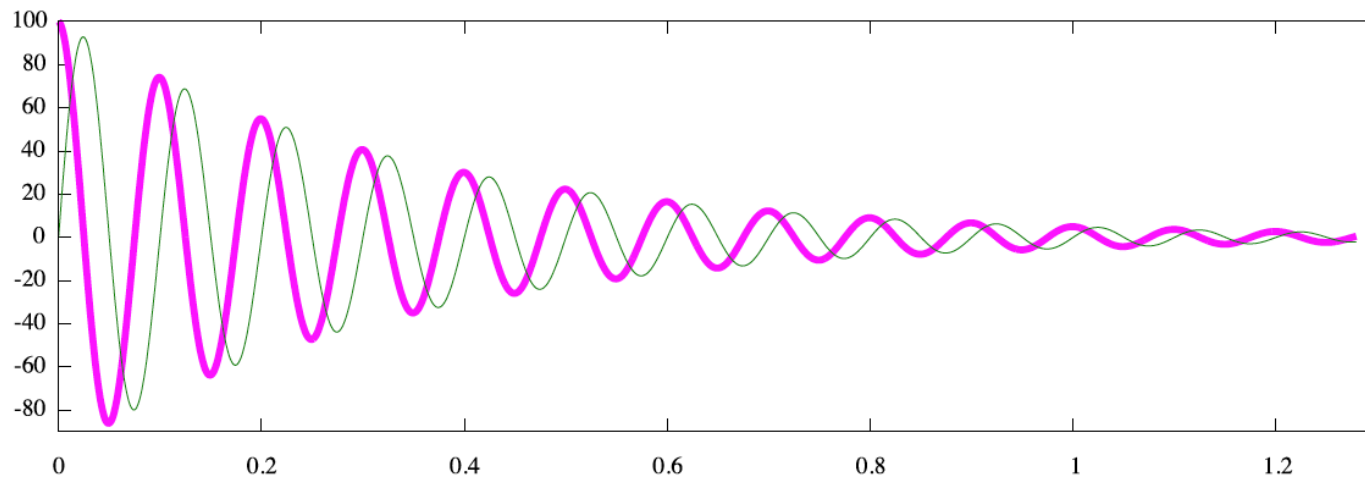
それでは、毎秒 40 回転で巻き戻してみよう。



$\exp(i * 40 * t)$ で割ることは、40 Hz で巻き戻すことと同じだ。

$$S(\omega) = \int_{-\infty}^{\infty} S(t) \exp(-i\omega t) dt = \int_{-\infty}^{\infty} S(t) \exp(i(-\omega)t) dt$$

毎秒 10 回転で巻き戻してみれば ...



振動が消え去って、積分値(面積)は0でなくなった。

双曲子双曲子相互作用のハミルトニアン

$$\mathcal{H}_d = \frac{\gamma_I \gamma_S \hbar^2}{r^3} (A + B + C + D + E + F)$$

$$A = I_Z S_Z (1 - 3 \cos^2 \theta)$$

$$B = -\frac{1}{4} (I^+ S^- + I^- S^+) (1 - 3 \cos^2 \theta)$$

$$C = -\frac{3}{2} (I^+ S_Z + I_Z S^+) \sin \theta \cos \theta \exp(-i\varphi)$$

$$D = -\frac{3}{2} (I^- S_Z + I_Z S^-) \sin \theta \cos \theta \exp(+i\varphi)$$

$$E = -\frac{3}{4} I^+ S^+ \sin^2 \theta \exp(-2i\varphi)$$

$$F = -\frac{3}{4} I^- S^- \sin^2 \theta \exp(+2i\varphi)$$

$$\mathcal{O}_d = \left[\frac{\vec{\mu}_I}{r^3} - \frac{3(\vec{\mu}_I \cdot \vec{r})\vec{r}}{r^5} \right] \vec{\mu}_S$$

$$\vec{\mu}_I = \gamma_I \hbar \vec{I} = \gamma_I \hbar (I_X, I_Y, I_Z) = \gamma_I \hbar \left(\frac{I^+ + I^-}{2}, \frac{I^+ - I^-}{2i}, I_Z \right)$$

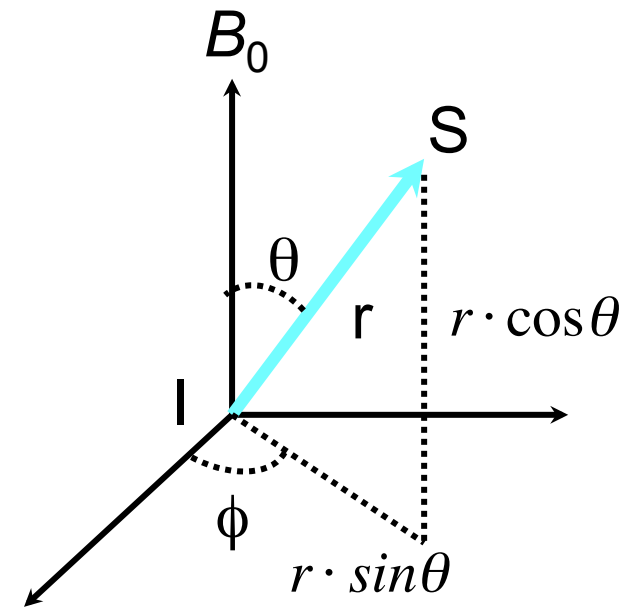
$$\vec{r} = (r \cdot \sin\theta \cdot \cos\varphi, r \cdot \sin\theta \cdot \sin\varphi, r \cdot \cos\theta)$$



$$I^+ = I_X + iI_Y$$

$$I^- = I_X - iI_Y$$

$$\mathcal{O}_d = \frac{\gamma_I \gamma_S \hbar^2}{r^3} (A + B + C + D + E + F)$$



Zeeman 相互作用の場合は

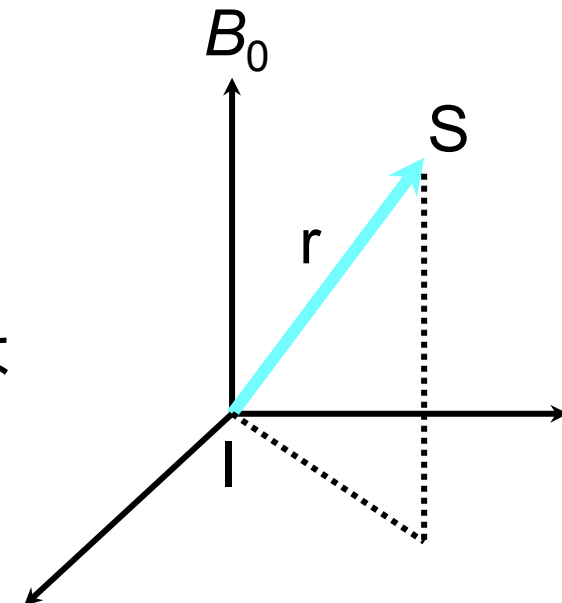
$$\mathcal{P}_z = -\vec{B}_0 \cdot \vec{\mu}_s$$

μ_s は B_0 の周りを歳差運動する

同様に、*dipole-dipole* 相互作用の場合は

$$\mathcal{P}_d = - \left[-\frac{\vec{\mu}_I}{r^3} + \frac{3(\vec{\mu}_I \cdot \vec{r})\vec{r}}{r^5} \right] \cdot \vec{\mu}_s$$

μ_s は、 $D_I = \left[-\frac{\vec{\mu}_I}{r^3} + \frac{3(\vec{\mu}_I \cdot \vec{r})\vec{r}}{r^5} \right]$ の周りを歳差運動する

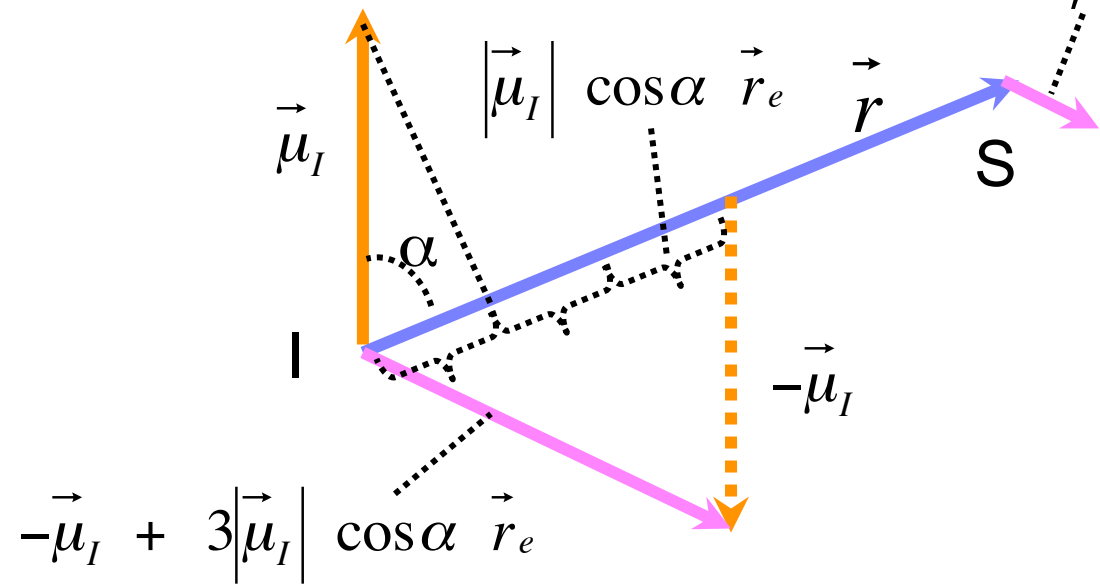


スピン $\vec{\mu}_I$ からの局所磁場の方向

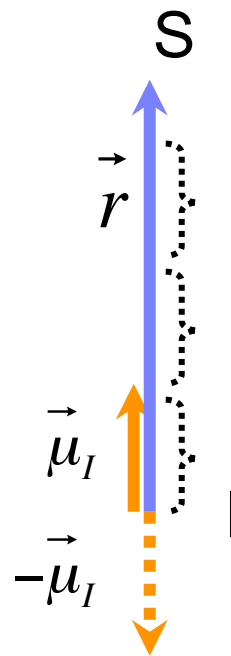
$$\begin{aligned}
 D_I &= \left[-\frac{\vec{\mu}_I}{r^3} + \frac{3(\vec{\mu}_I \cdot \vec{r})\vec{r}}{r^5} \right] \\
 &= -\frac{\vec{\mu}_I}{r^3} + \frac{3(|\vec{\mu}_I| r \cos\alpha)}{r^5} \vec{r} \cdot \vec{r}_e \\
 &= \frac{-\vec{\mu}_I + 3|\vec{\mu}_I| \cos\alpha \vec{r}_e}{r^3}
 \end{aligned}$$

実際の大きさは r^3 で割った値

$$\frac{-\vec{\mu}_I + 3|\vec{\mu}_I| \cos\alpha \vec{r}_e}{r^3}$$



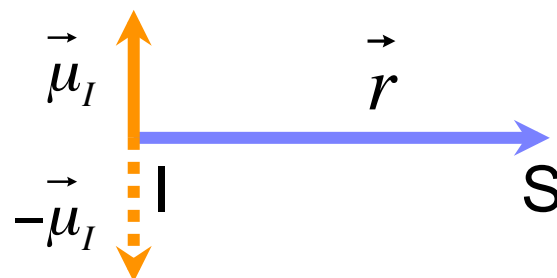
スピン μ_I と r が平行の時



A diagram illustrating the case where the spin vector $\vec{\mu}_I$ and the position vector \vec{r} are perpendicular. The vertical axis is labeled S , the horizontal axis is labeled \vec{r} , and the diagonal axis is labeled $\vec{\mu}_I$. A dashed circle indicates the projection of $\vec{\mu}_I$ onto the \vec{r} -axis. The angle $\alpha = 0$ is indicated between the \vec{r} -axis and the projection of $\vec{\mu}_I$.

$$-\vec{\mu}_I + 3|\vec{\mu}_I| \cos\alpha \vec{r}_e = 2\vec{\mu}_I$$

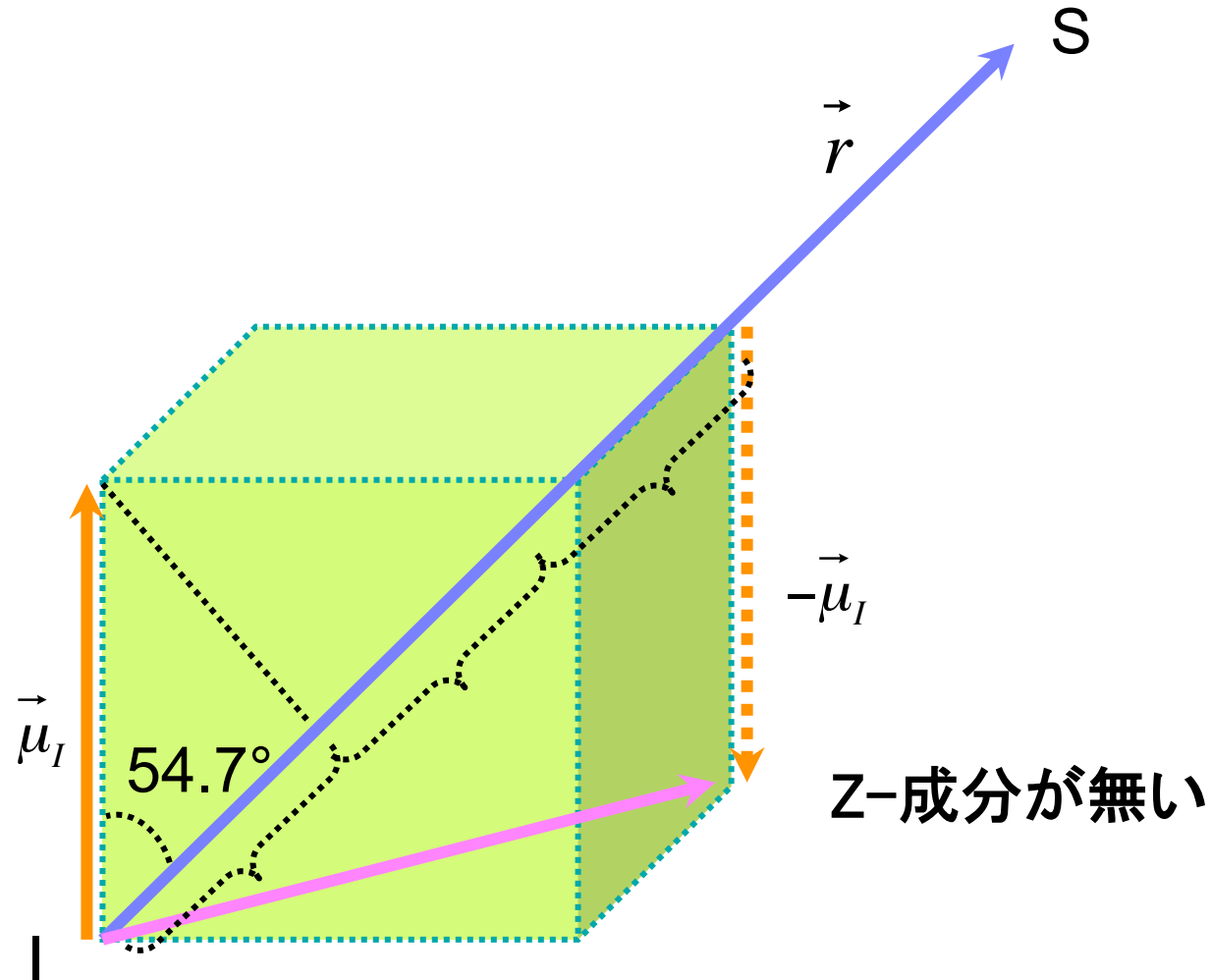
スピン μ_I と r が直角の時



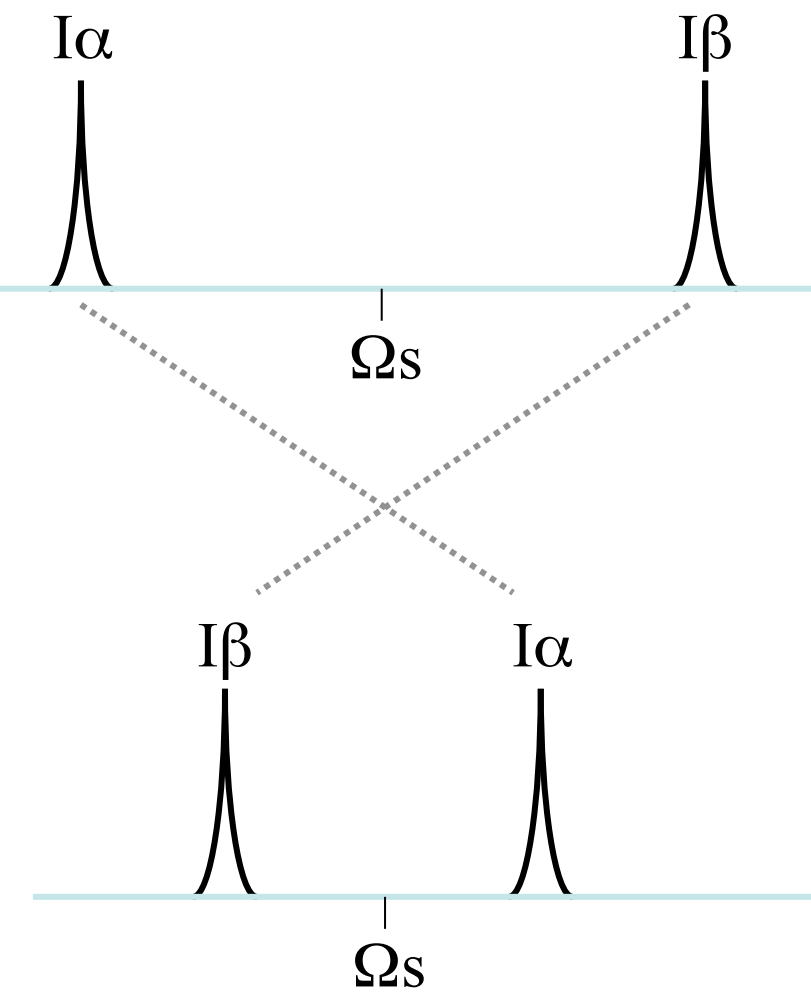
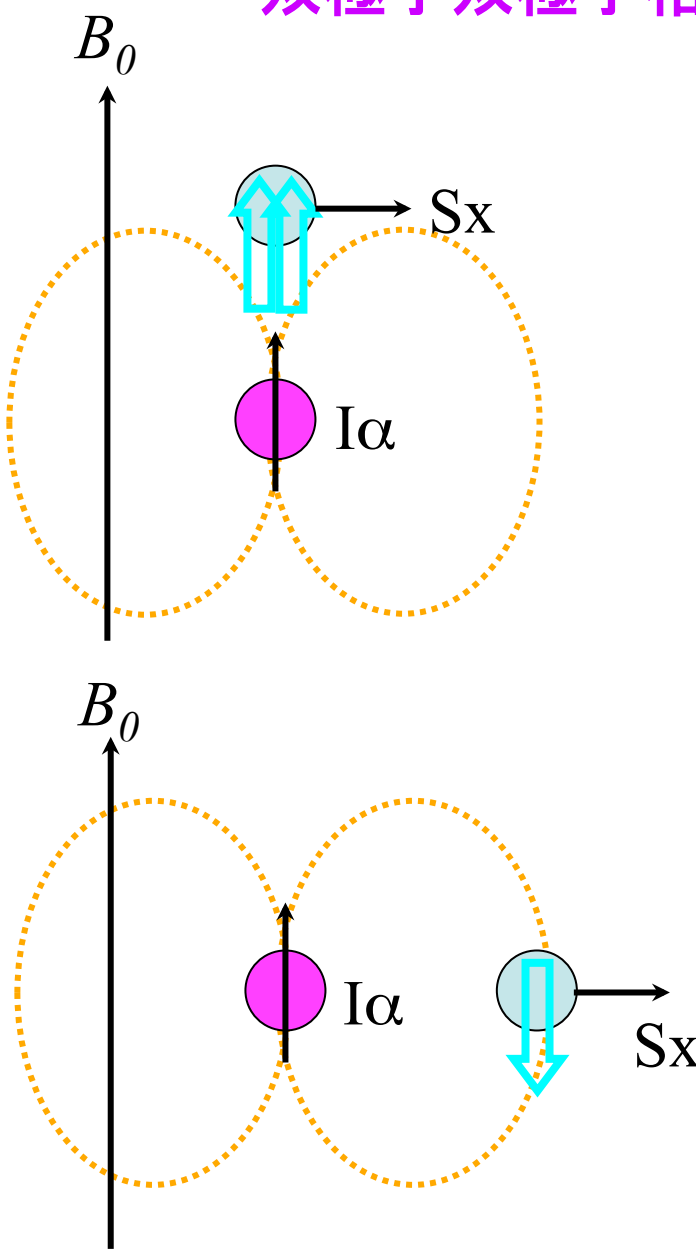
A diagram illustrating the case where the spin vector $\vec{\mu}_I$ and the position vector \vec{r} are perpendicular. The vertical axis is labeled S , the horizontal axis is labeled \vec{r} , and the diagonal axis is labeled $\vec{\mu}_I$. A dashed circle indicates the projection of $\vec{\mu}_I$ onto the \vec{r} -axis. The angle $\alpha = 90^\circ$ is indicated between the \vec{r} -axis and the projection of $\vec{\mu}_I$.

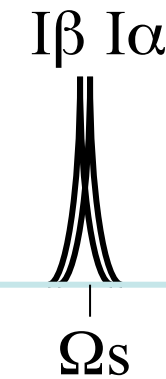
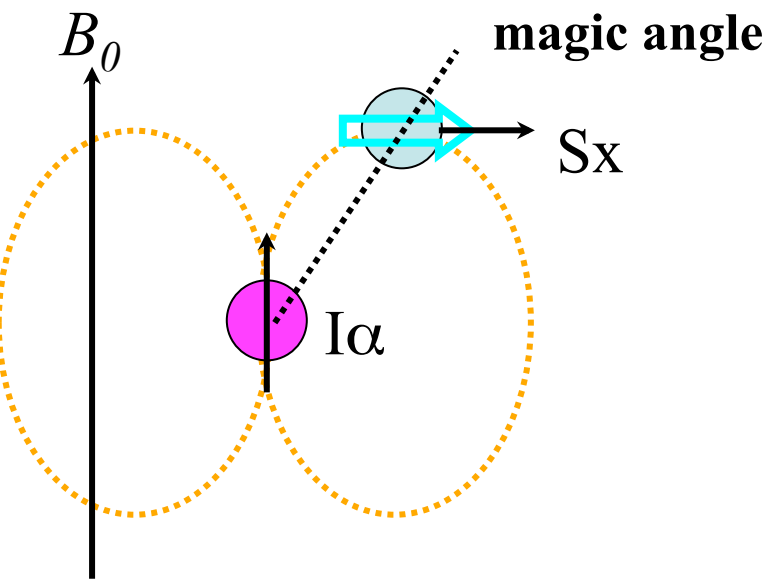
$$-\vec{\mu}_I + 3|\vec{\mu}_I| \cos\alpha \vec{r}_e = -\vec{\mu}_I$$

スピン μ_I と r が magic-角度の時



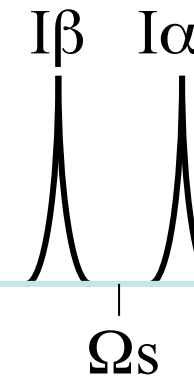
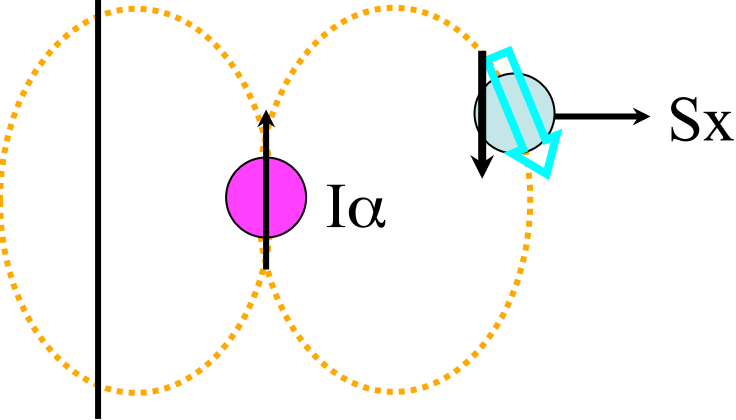
双極子双極子相互作用 dipole-dipole interaction



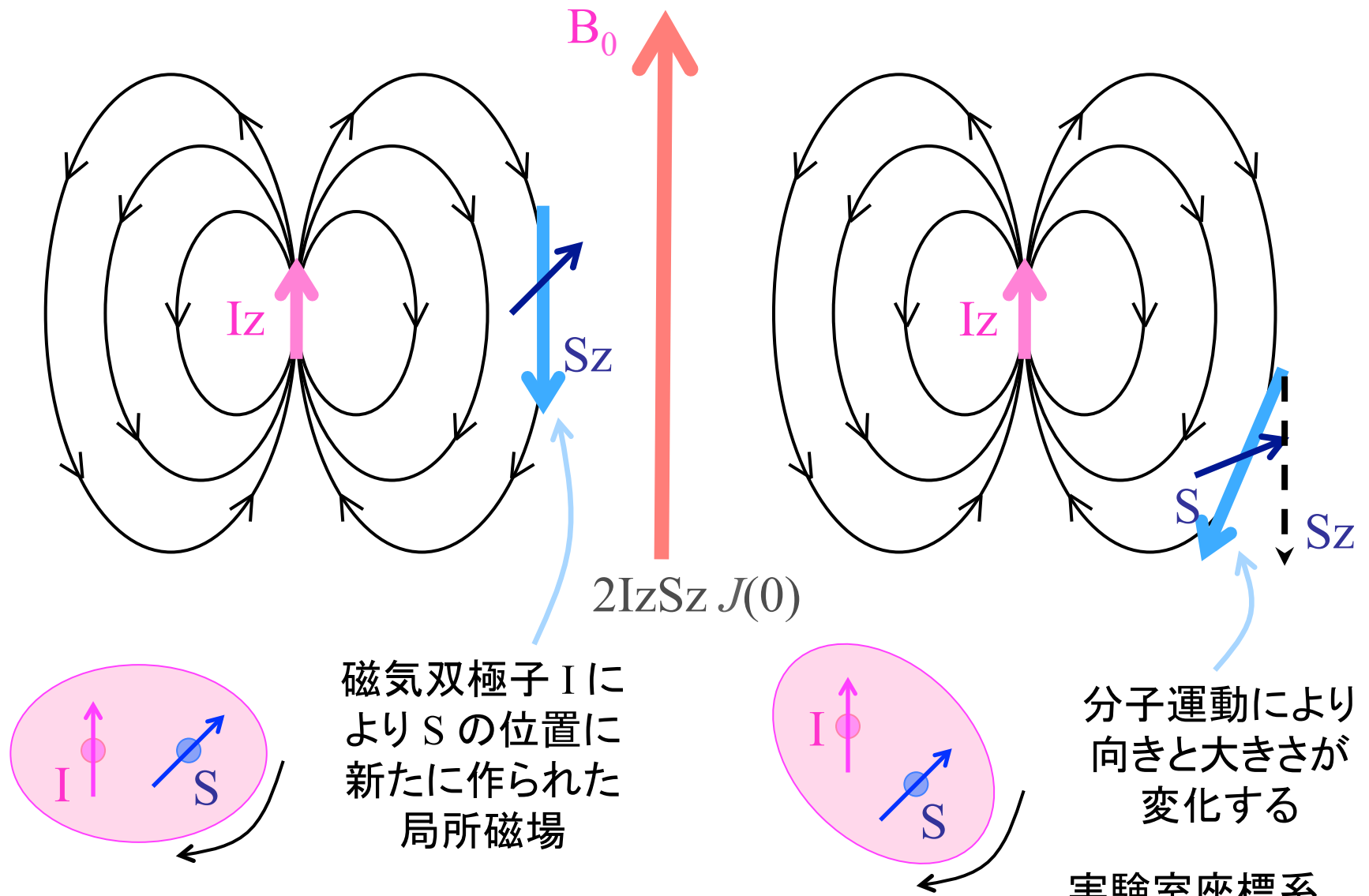


B_0

局所磁場の B_0 方向成分のみ有効



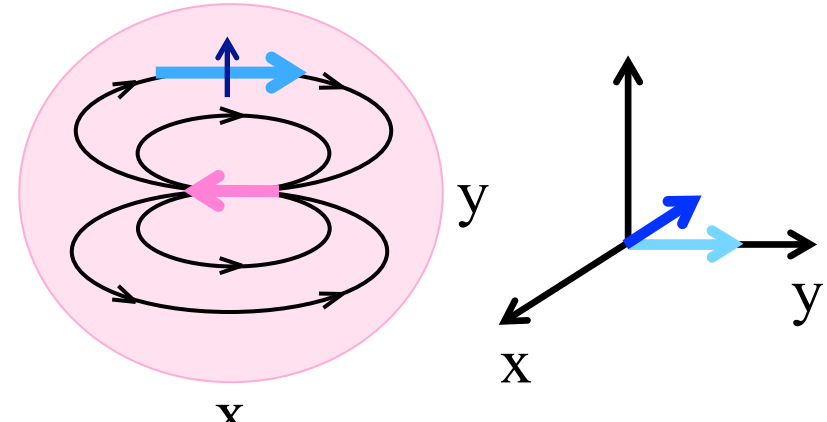
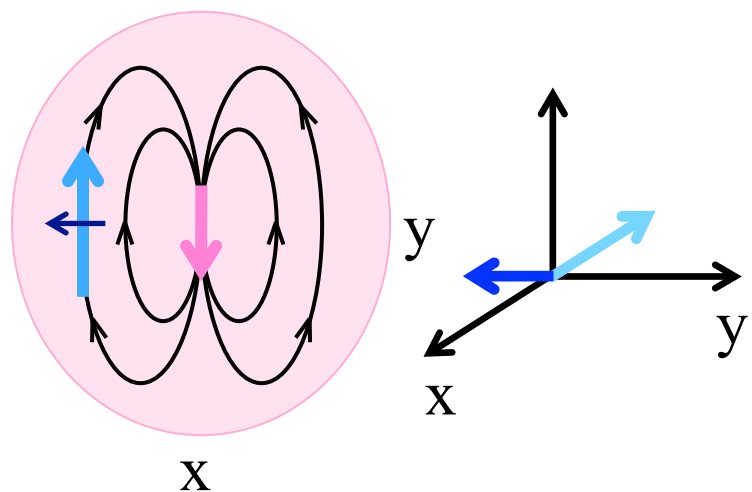
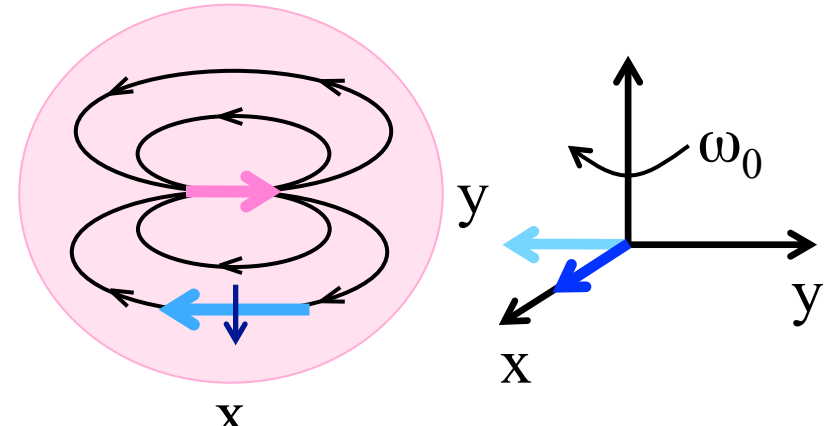
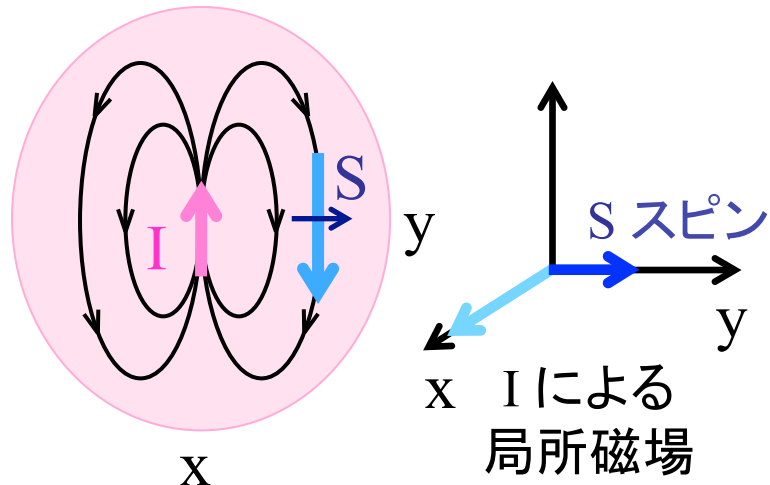
高分子の T_2 が短い(NMR が高分子に弱い)理由



分子があまり高速に回転しない方が T_2 パルスとして効く。

分子、I-スピン、Σ-スピンが同時に ω_0 で回転

実験室座標系

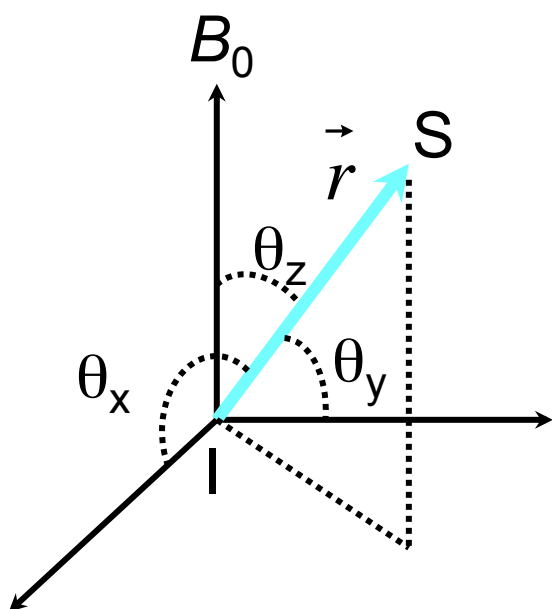


$$2I^+S^+ J (2\omega_0)$$

実際は分子アンサンブルとしての統計を考慮する必要がある。

$$\mathcal{P}_d = \left[\frac{\vec{\mu}_I}{r^3} - \frac{3(\vec{\mu}_I \cdot \vec{r})\vec{r}}{r^5} \right] \vec{\mu}_S$$

$$\begin{aligned}\vec{\mu}_I &= \gamma_I \hbar \vec{I} = \gamma_I \hbar (I_x, I_y, I_z) \\ \vec{r} &= (r \cos \theta_x, r \cos \theta_y, r \cos \theta_z)\end{aligned}$$



注) $\theta_x = \theta_y = 90^\circ$, $\theta_z = 0^\circ$, $I_x = I_y = 0$ とすると、Zeeman 相互作用とよく似た式になる。

$$\begin{aligned}\mathcal{P}_d &= \frac{\gamma_I \gamma_S \hbar^2}{r^3} (\dots \dots) \\ &+ I_x S_x + I_y S_y + I_z S_z \\ &- 3I_x S_x \cos \theta_x \cos \theta_x \\ &- 3I_x S_y \cos \theta_x \cos \theta_y \\ &- 3I_x S_z \cos \theta_x \cos \theta_z \\ &- 3I_y S_x \cos \theta_y \cos \theta_x \\ &- 3I_y S_y \cos \theta_y \cos \theta_y \\ &- 3I_y S_z \cos \theta_y \cos \theta_z \\ &- 3I_z S_x \cos \theta_z \cos \theta_x \\ &- 3I_z S_y \cos \theta_z \cos \theta_y \\ &- 3I_z S_z \cos \theta_z \cos \theta_z\end{aligned}$$

$$\mathcal{P}_d = \frac{\gamma_I \gamma_S \hbar^2}{r^3} (\dots)$$

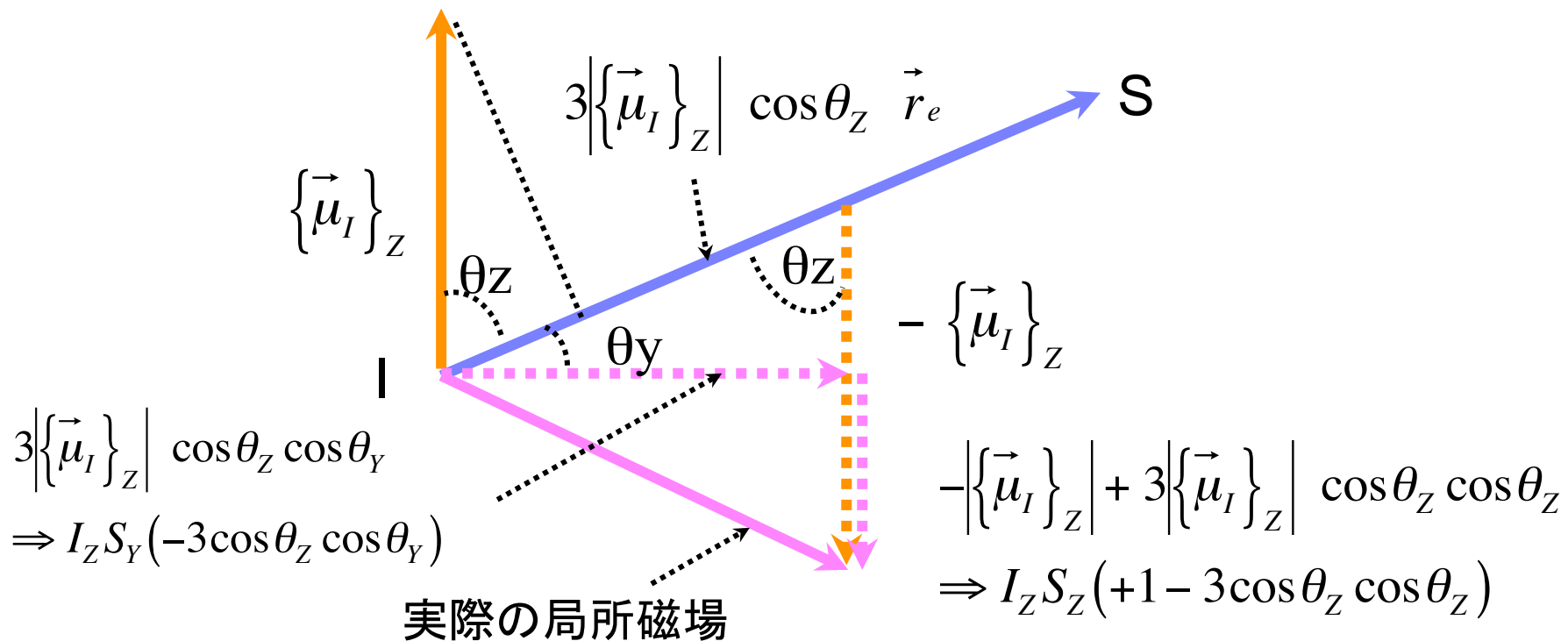
$$+ I_X S_X + I_Y S_Y + I_Z S_Z$$

.....

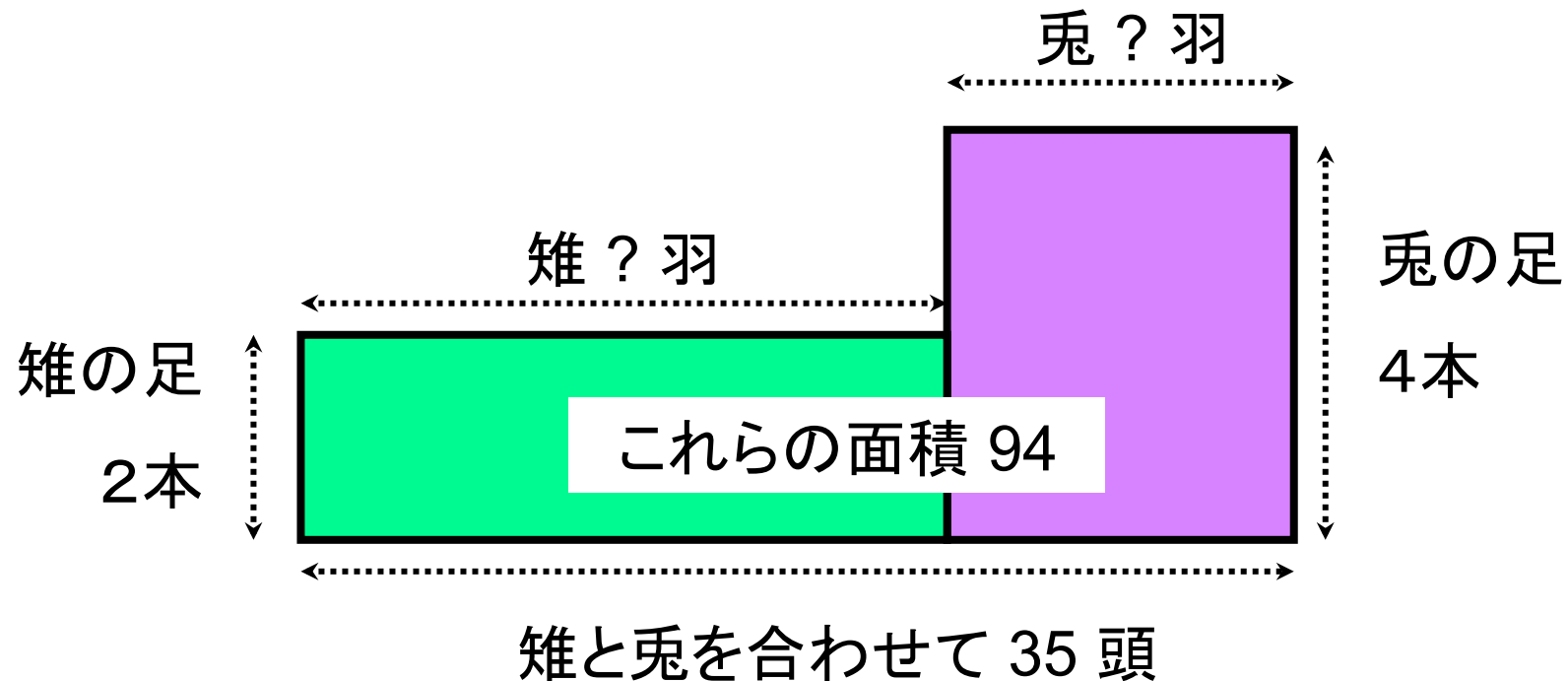
$$-3I_Z S_Y \cos \theta_Z \cos \theta_Y$$

.....

1. スピン μ_I のうち、z 成分が作る(異方的)局所磁場を考える。 $\rightarrow I_Z$
2. この局所磁場は、もともと $\cos(\theta_z)$ の寄与しかない。
3. この局所磁場のうち、スピン μ_S の位置での y 成分の大きさを考える。 $\rightarrow S_Y$
4. この y 成分は、 $\cos(\theta_y)$ の寄与しかない。



今有雉兔同籠
上有三十五頭
下有九十四足
問雉兔各幾何



答：雉（きじ） 23 羽、兎（うさぎ） 12 羽

